

RADIACINĖS SAUGOS CENTRAS

2025 M. VALSTYBINIO RADIOLOGINIO APLINKOS MONITORINGO ATASKAITA

Valstybinis radiologinis aplinkos monitoringas vykdomas įgyvendinant Euratomo sutarties 35 ir 36 straipsnių nuostatas ir yra skirtas sistemingai ir nuolat vykdyti geriamojo vandens, maisto produktų bei aplinkos ėminių užterštumo antropogeninės (dirbtinės) kilmės radionuklidais tyrimus, vertinti antropogeninį poveikį ir atlikti prognozę. Valstybinį radiologinį aplinkos monitoringą vykdo Radiacinės saugos centras (toliau – RSC).

2025 m. valstybinis radiologinis aplinkos monitoringas vykdytas pagal Lietuvos Respublikos Vyriausybės 2024 m. birželio 26 d. nutarimu Nr. 527 „Dėl Valstybinės aplinkos monitoringo 2024–2029 metų programos patvirtinimo“, Lietuvos Respublikos sveikatos apsaugos ministro 2020 m. gruodžio 23 d. įsakymu Nr. V-3003 „Dėl Valstybinio radiologinio aplinkos monitoringo vykdymo ir informacijos teikimo Europos Komisijai bei visuomenei tvarkos aprašo patvirtinimo“ ir Lietuvos Respublikos sveikatos apsaugos ministro 2024 m. spalio 25 d. įsakymas Nr. V-1032 „Dėl Radiacinės saugos centro vykdomų Valstybinės aplinkos monitoringo 2024–2029 metų programos uždavinių įgyvendinimo 2025 metais plano patvirtinimo“ nustatytus reikalavimus.

Baltijos jūros, Kuršių marių, upių, ežerų vandens ir dugno nuosėdų, augmenijos ir žuvų bei oro aerozolių tyrimai

2025 m. ištirti 136 ėminiai. Iš jų: 52 oro aerozolių, 53 vandens, 30 dugno nuosėdų, 1 augmenijos ir 3 žuvų ėminiai.

2025 m. ištirti Baltijos jūros ir Kuršių marių vandens ėminiai, paimti keturis kartus per metus skirtingais metų laikotarpiais, išskyrus 64A2 stotį, kurioje ėminys paimtas 1 kartą per metus. Dugno nuosėdų ėminiai pristatyti 3 kartus per metus, biotos (šakotojo banguolio) ir žuvų (menkės, strimėlės, plekšnės) – 1 kartą per metus.

Baltijos jūros ir Kuršių marių vandens ir dugno nuosėdų ėminiai pristatyti iš 4 stočių, esančių Lietuvos teritoriniuose vandenyse.

Upių vandens ėminiai buvo paimti 6 stotyse keturis kartus per metus skirtingais metų laikotarpiais, dugno nuosėdų – 2 kartus, išskyrus stotį Neryje ties Buivydziais, kurioje ėminių skaičius yra padidintas galimam užterštumui iš Baltarusijos atominės elektrinės (toliau – Baltarusijos AE) aptikti. Joje vandens ėminiai buvo imami 12 kartų per metus, o dugno nuosėdų – 4 kartus.

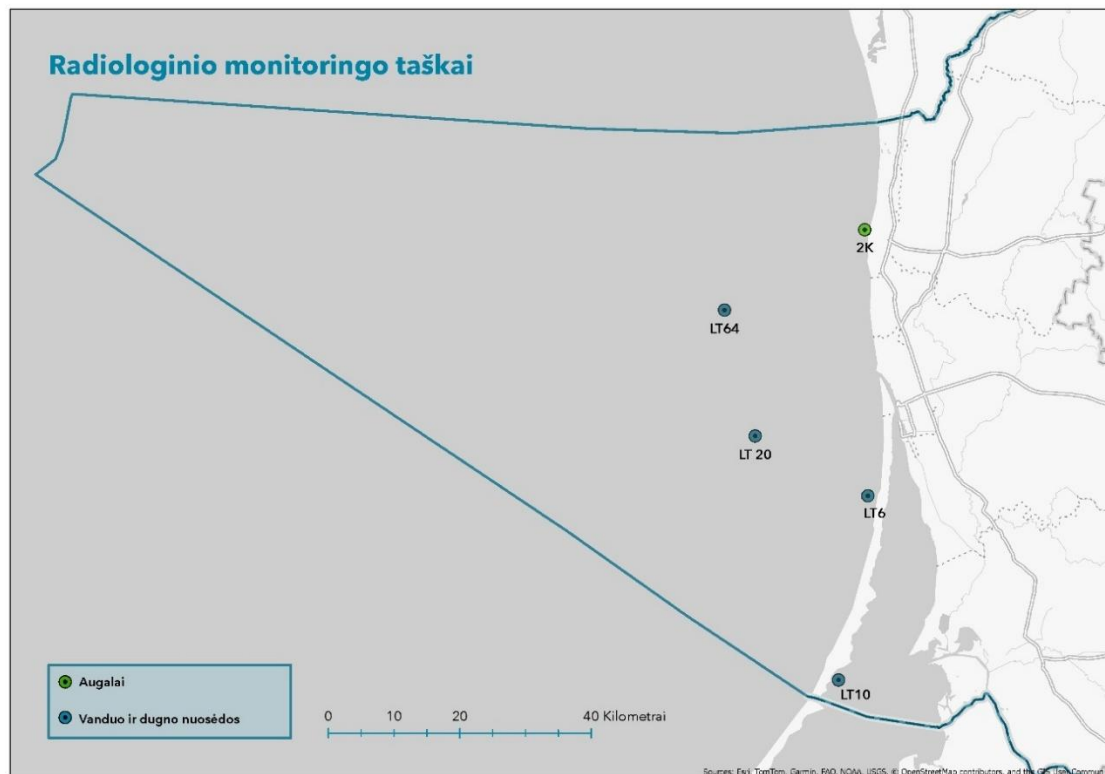
Ežeruose vandens ėminiai imami 2 stotyse 2–6 kartus per metus, dugno nuosėdų – 1–2 kartus.

Oro aerozoliai buvo imami Utenos stotyje. Filtrų keitimo dažnis – 1 kartą per savaitę.

Baltijos jūros ir Kuršių marių radiologinės būklės vertinimas

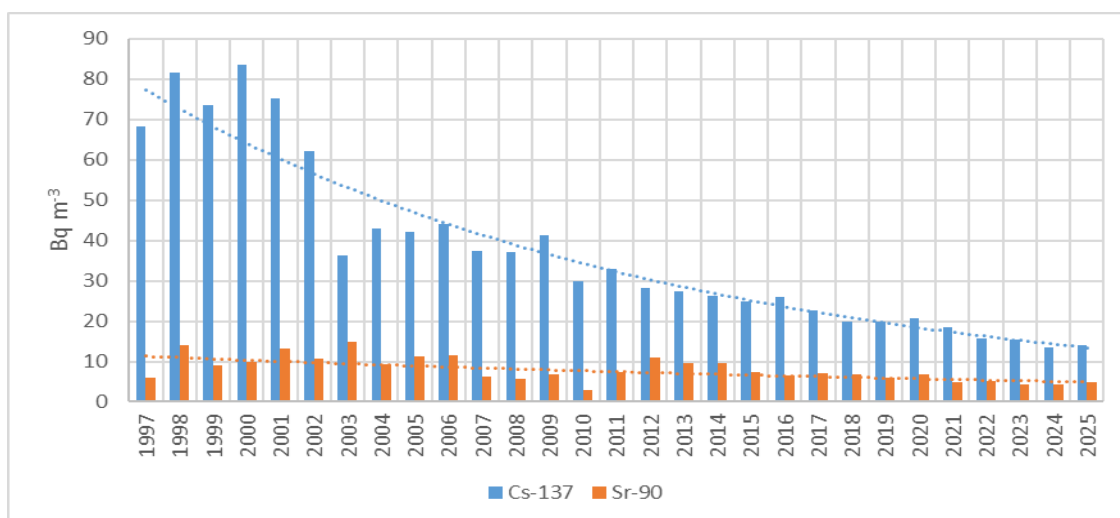
2025 m. paviršinio vandens bei dugno nuosėdų ėminiai buvo imami Aplinkos apsaugos agentūros ekspedicijų metu trijose monitoringo stotyse (LT64A2, LT6, LT20) Baltijos jūroje ir vienoje Kuršių marių stotyje (LTK10) skirtingais metų laikotarpiais. Jūros augmenija buvo imama vieną kartą per metus Baltijos jūros priekrantės stotyje LT2K, o žuvų ėminiai – Baltijos jūros priekrantės vandenyse 20 stoties rajone. Ėmimo metu registruota vandens temperatūra, druskingumas bei stoties gylis. Ėminių ėmimo stotys pateiktos 1 pav.

Detalūs ^{137}Cs bei ^{90}Sr radionuklidų aktyvumo koncentracijos paviršiniame Baltijos jūros bei Kuršių marių vandenyje, dugno nuosėdose bei biotoje tyrimų rezultatai, taip pat paėmimo metu registruotas vandens druskingumas bei temperatūra pateikti 1 priedo 1–4 lentelėse.



1 pav. Baltijos jūros ir Kuršių marių ėminių ėmimo valtybiniam radiologiniam monitoringui stotys

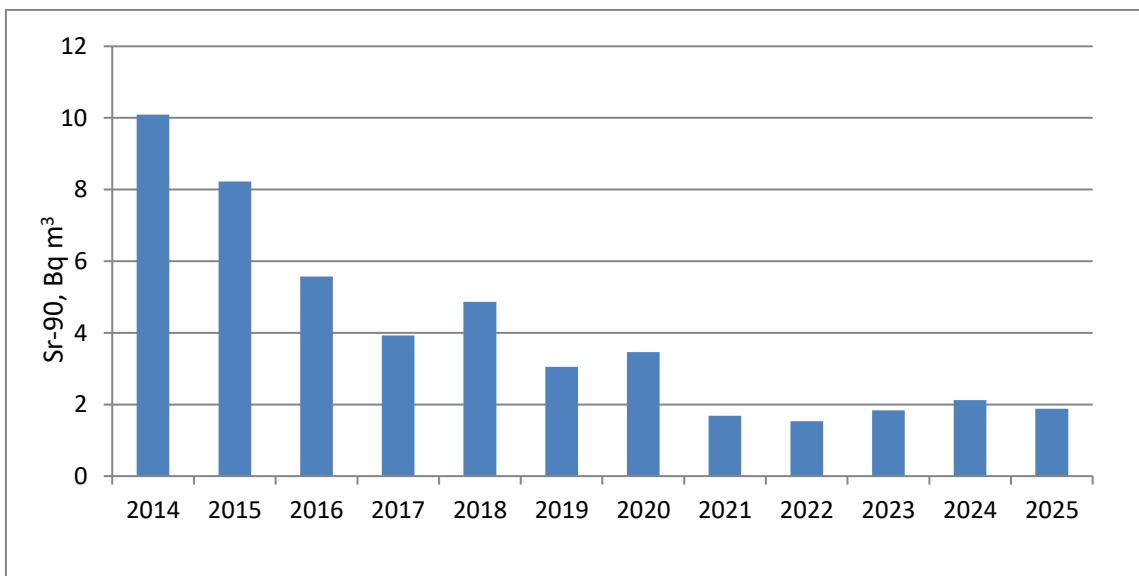
Baltijos jūros paviršinio vandens tyrimų rezultatai rodo, kad vidutinė metinė ^{137}Cs radionuklido aktyvumo koncentracija pastaraisiais metais palaipsniui mažėja ir 2025 m. ji buvo lygi $13,9 \text{ Bq/m}^3$. Taip pat stebima, kad laipsniškai mažėja ir ^{90}Sr aktyvumo koncentracija ($4,8 \text{ Bq/m}^3$) (2 pav.).



Pastaba. 1997–2020 m. Aplinkos apsaugos agentūros tyrimų duomenys

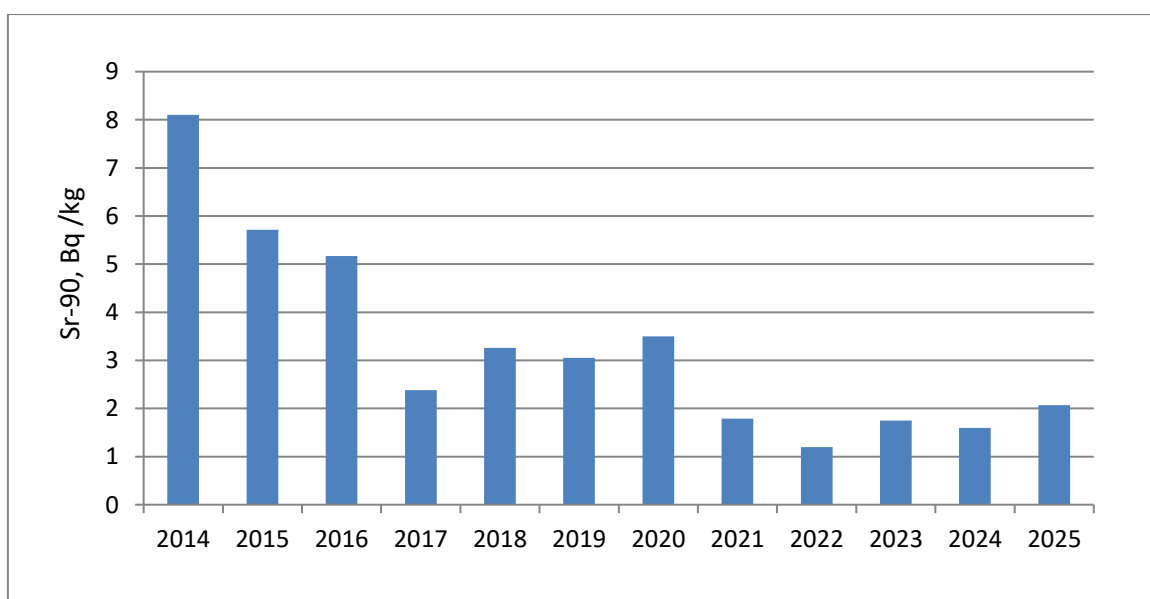
2 pav. ^{137}Cs ir ^{90}Sr radionuklidų vidutinė metinė aktyvumo koncentracija Baltijos jūros paviršiniame vandenyje 1997–2025 m., Bq/m^3

2025 m. ^{137}Cs radionuklido aktyvumo koncentracija Baltijos jūros dugno nuosėdose kito nuo 7,35 iki 18,2 Bq/kg . Vidutinė ^{137}Cs radionuklido aktyvumo koncentracijos reikšmė buvo lygi 10,4 Bq/kg . Kuršių marių vandenyje ^{137}Cs radionuklido aktyvumo koncentracija buvo mažesnė už radionuklido aktyvumo nustatymo ribą, kai ^{90}Sr ji kito nuo 1,39 iki 2,56 Bq/m^3 , su vidutine verte 2,1 Bq/m^3 (3 pav). Didžiausios ^{137}Cs ir ^{90}Sr radionuklidų aktyvumo koncentracijos vertės stebimos Kuršių marių dugno nuosėdose. 2025 m. ^{137}Cs radionuklido vidutinė reikšmė buvo lygi 35,7 Bq/kg , o ^{90}Sr – 1,6 Bq/kg (4 pav.).



Pastaba. 2014–2020 m. Aplinkos apsaugos agentūros tyrimų duomenys

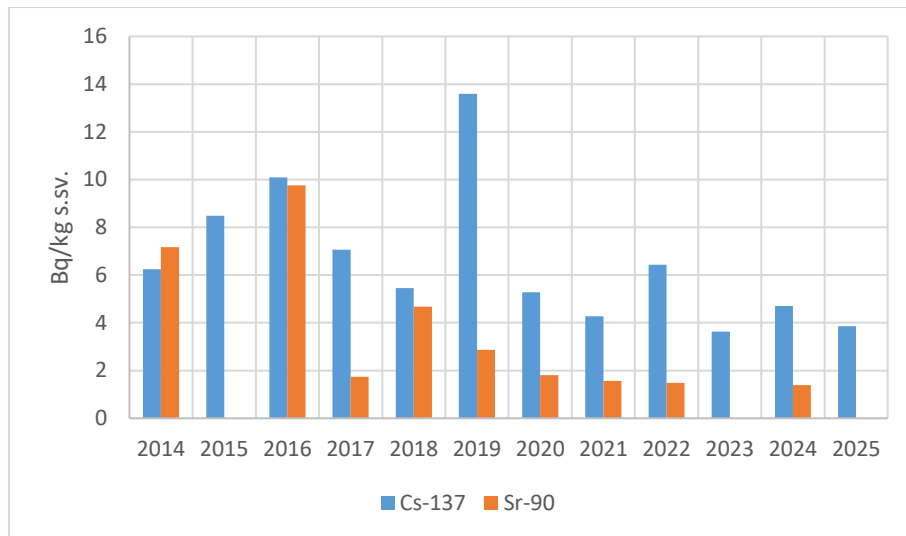
3 pav. ^{90}Sr radionuklido vidutinė metinė aktyvumo koncentracija Kuršių marių paviršiniame vandenyje 2014–2025 m., Bq/m^3



Pastaba. 2014–2020 m. Aplinkos apsaugos agentūros tyrimų duomenys

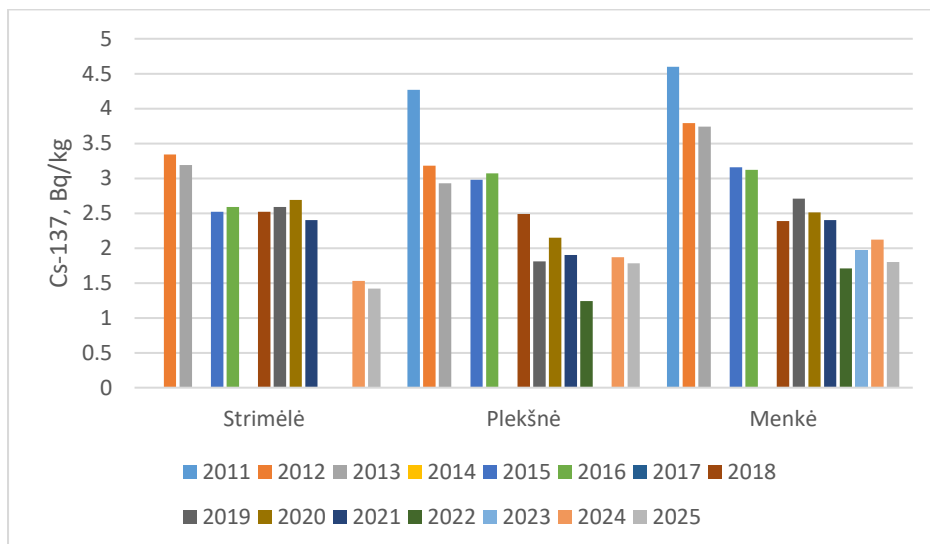
4 pav. ^{90}Sr radionuklido vidutinė metinė aktyvumo koncentracija Kuršių marių dugno nuosėdose 2014–2025 m., Bq/kg (sausam svoriui)

Baltijos jūros augale *Furcellaria lumbricalis* ^{137}Cs radionuklido aktyvumo koncentracija sausam svoriui 2025 m. buvo lygi 3,86 Bq/kg (5 pav.). Tuo tarpu ^{90}Sr aktyvumo koncentracija 2025 m. kaip ir 2023 m. buvo mažesnė už radionuklido aktyvumo nustatymo ribą, t. y. $<0,4$ Bq/kg.



Pastaba. 2014–2020 m. Aplinkos apsaugos agentūros tyrimų duomenys
5 pav. ^{137}Cs ir ^{90}Sr radionuklido aktyvumo koncentracija jūros augmenijoje (*Furcellaria lumbricalis*) 2014–2025 m., Bq/kg (sausam svoriui)

Baltijos jūros žuvyse 2011–2025 m. ^{137}Cs aktyvumo koncentracija kito nuo 1,42 iki 5,14 Bq/kg (6 pav.). 2025 m. ^{137}Cs aktyvumo koncentracija tirtose žuvyse (menkė, plekšnė ir strimėlė) kito nuo 1,42 iki 1,80 Bq/kg. Iš turimų duomenų matoma, kad radionuklido aktyvumo koncentracija žuvyse laipsniškai mažėja.

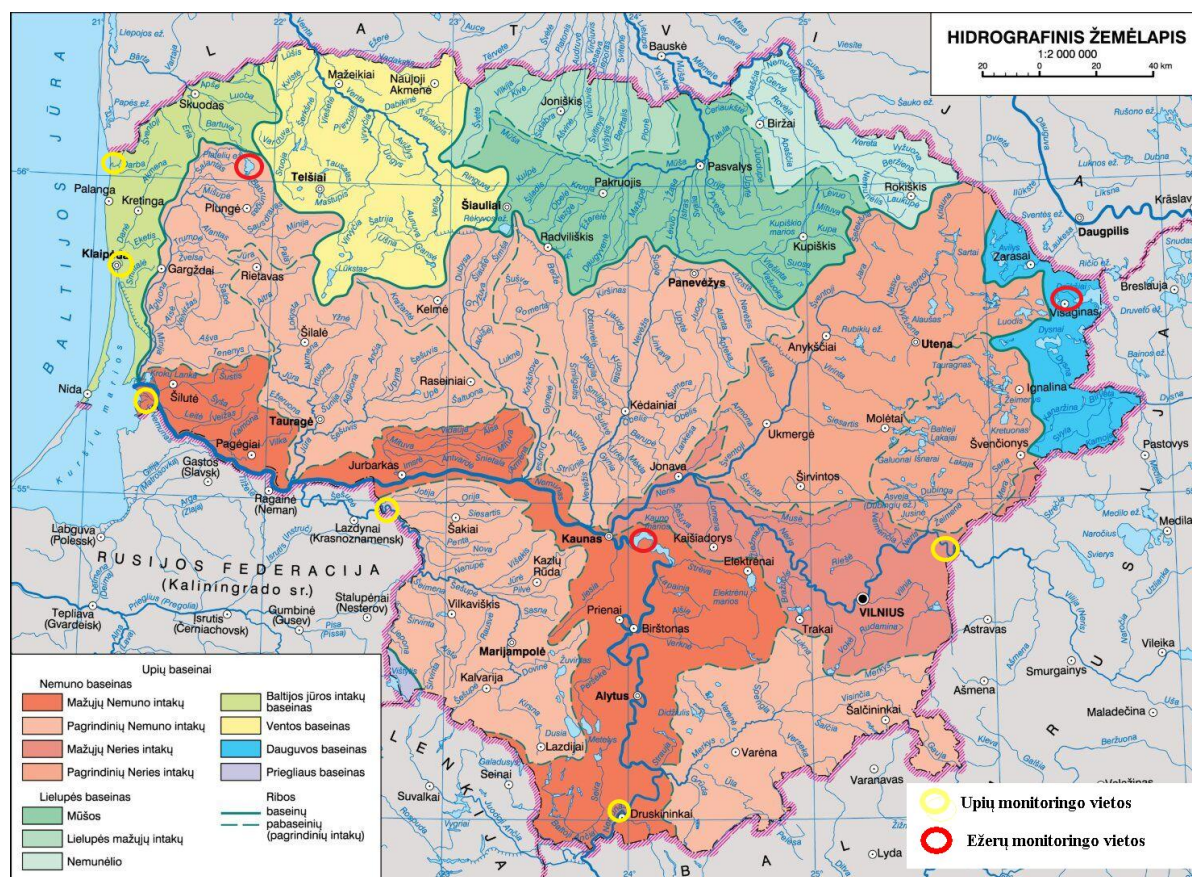


Pastaba. 2011–2020 m. Aplinkos apsaugos agentūros tyrimų duomenys
6 pav. ^{137}Cs radionuklido vidutinė metinė aktyvumo koncentracija jūros žuvyse 2011–2025 m., Bq/kg

Lietuvos upių bei ežerų radiologinės būklės vertinimas

Ežerų ir upių ekosistemas komponentų tyrimai atliekami reprezentacinėse monitoringo stotyse, geriausiai atspindinčiose ekosistemas būklę. Ėminių ėmimo stotys pateiktos 7 pav.

Paviršinio vandens ėminiai imami upėse: Akmenos–Danės žiotyse, Nemune aukščiau Druskininkų, Šešupėje ties pasieniu su Kaliningradu, Skirvytėje ties Rusne ir Šventosios žiotyse, Platelių ežere ir Kauno mariose 2–6 kartus per metus, dažniau Neryje ties Buivydžiais – 12 kartų per metus. Dugno nuosėdų ėminiai imami 1–4 kartus per metus. Detalūs 2025 m. tyrimų rezultatai pateikti 1 priedo 5–8 lentelėse.



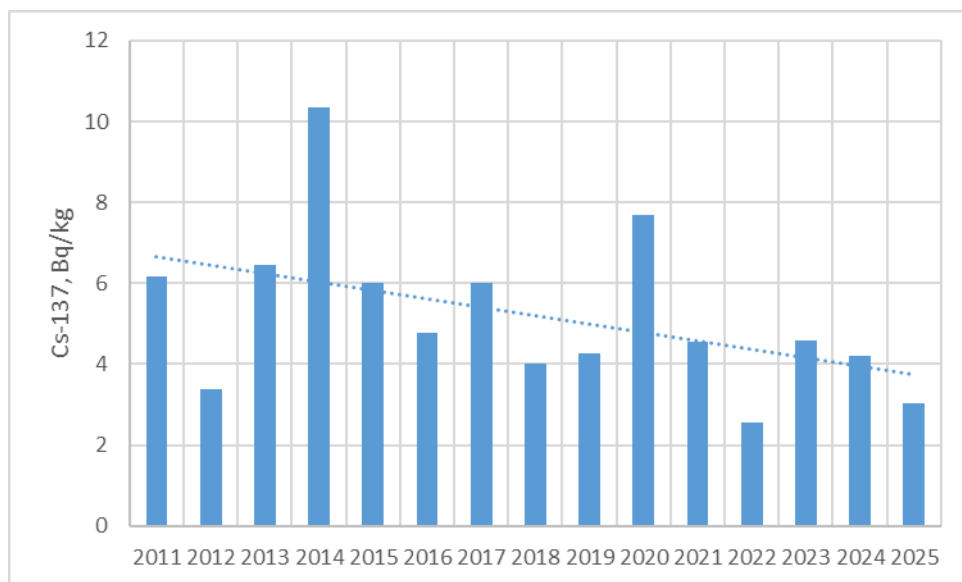
7 pav. Upių ir ežerų ėminių ėmimo valstybiniam radiologiniam monitoringui stotys

Iš Baltarusijos Respublikos atitekančiose Nemuno ir Neries upėse ^{137}Cs radionuklido aktyvumo koncentracija paviršiniame vandenyje mažesnė už aptikimo ribą. ^{137}Cs radionuklido vidutinės metinės aktyvumo koncentracijos kaita Neries ir Nemuno dugno nuosėdose pastarąjį dešimtmetį pateikta 8–9 pav. 2025 m. šio radionuklido vidutinė aktyvumo koncentracija Nemuno dugno nuosėdose buvo lygi 1,89 Bq/kg, o Neries – 3,03 Bq/kg. Pastaruosius 10 metų stebima, kad laipsniškai mažėja šio radionuklido vidutinės metinės aktyvumo koncentracijos vertės abiejų upių dugno nuosėdose. Vandenyje, paimtame kitose ežerų ir upių stotyse, ^{137}Cs radionuklido aktyvumo koncentracija taip pat buvo mažesnė už aptikimo ribą, o upių dugno nuosėdose 2025 m. ji kito nuo 0,24 Bq/kg Skirvytėje ties Rusne iki 6,28 Bq/kg Neryje ties Buivydžiais.

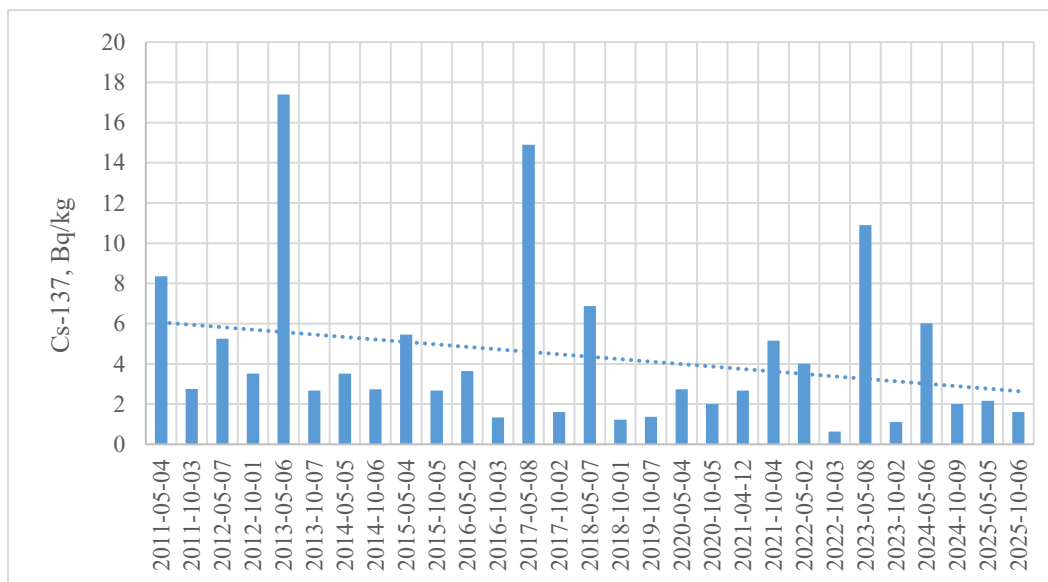
Kauno marių dugno nuosėdose ^{137}Cs radionuklido aktyvumo koncentracija buvo 24,8 Bq/kg, o Plateliuose 3–5 Bq/kg.

Upių vandenyje 2025 m. didžiausia ^{90}Sr aktyvumo koncentracija nustatyta Šešupėje 4,85 Bq/m³. Platelių ežero vandenyje šio radionuklido aktyvumo koncentracija 2,75 Bq/m³.

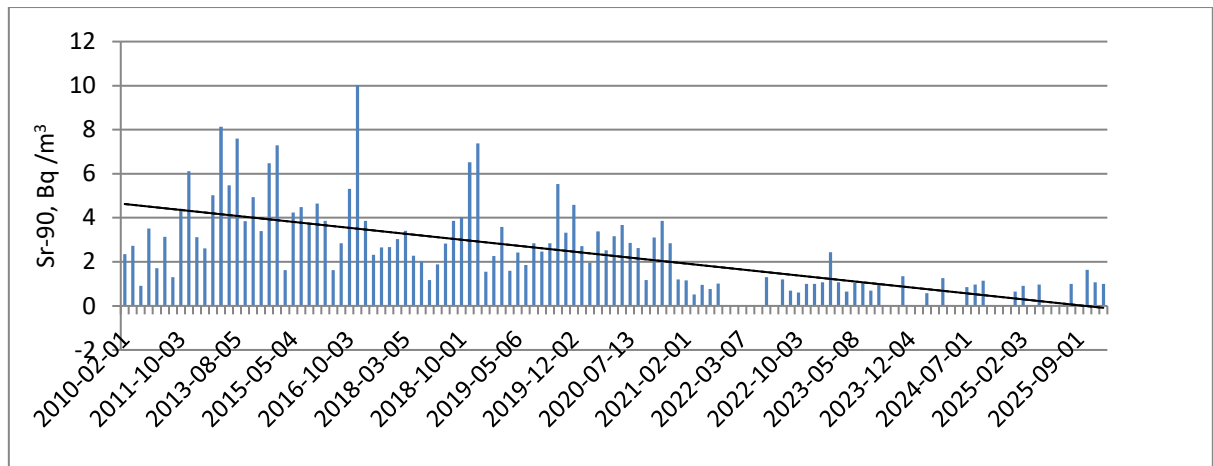
Didžiausia ^{90}Sr aktyvumo koncentracija dugno nuosėdose nustatyta Šešupėje – $1,27 \text{ Bq/m}^3$.



Pastaba. 2011–2020 m. Aplinkos apsaugos agentūros tyrimų duomenys
8 pav. ^{137}Cs radionuklido vidutinė metinė aktyvumo koncentracija Neries dugno nuosėdose 2011–2025 m., Bq/kg (sausam svoriui)



Pastaba. 2011–2020 m. Aplinkos apsaugos agentūros tyrimų duomenys
9 pav. ^{137}Cs radionuklido aktyvumo koncentracija Nemuno dugno nuosėdose 2011–2025 m., Bq/kg (sausam svoriui)



Pastaba. 2010–2020 m. Aplinkos apsaugos agentūros tyrimų duomenys

10 pav ^{90}Sr radionuklido vidutinė metinė aktyvumo koncentracija Neries paviršiniame vandenyje 2010–2025 m., Bq/m^3

Oro radiologinės būklės vertinimas

Aerzolių ėminiai nenutrūkstamai renkami Utenos stotyje. Utenoje filtrai keičiami kas 5–7 dienas. Stebima kosmogeninių (^7Be , ^{22}Na ir technogeninių (^{137}Cs , ^{134}Cs ir ^{131}I), gama spindulių aktyvumo koncentracijos kaita. Detalūs tyrimų rezultatai pateikti 1 priedo 9 lentelėje.

^{134}Cs bei ^{131}I radionuklidų aktyvumo koncentracija 2025 m. Utenos stotyje neviršijo minimalaus detektuojamo aktyvumo, kai ^{137}Cs – buvo šešis kartus didesnė už minimalų detektuojamą aktyvumą.

Nesant dirbtinių radionuklidų, pagrindinis gama spindulis ore yra kosmogeninis ^7Be radionuklidas. 2025 m. didžiausia vertė, nustatyta kovo mėnesį Utenos stotyje, buvo lygi $4,0 \times 10^{-3} \text{ Bq}/\text{m}^3$. ^{22}Na aktyvumo koncentracija neviršijo minimalaus detektuojamo aktyvumo.

Aplinkos dozės ekvivalento matavimų rezultatai

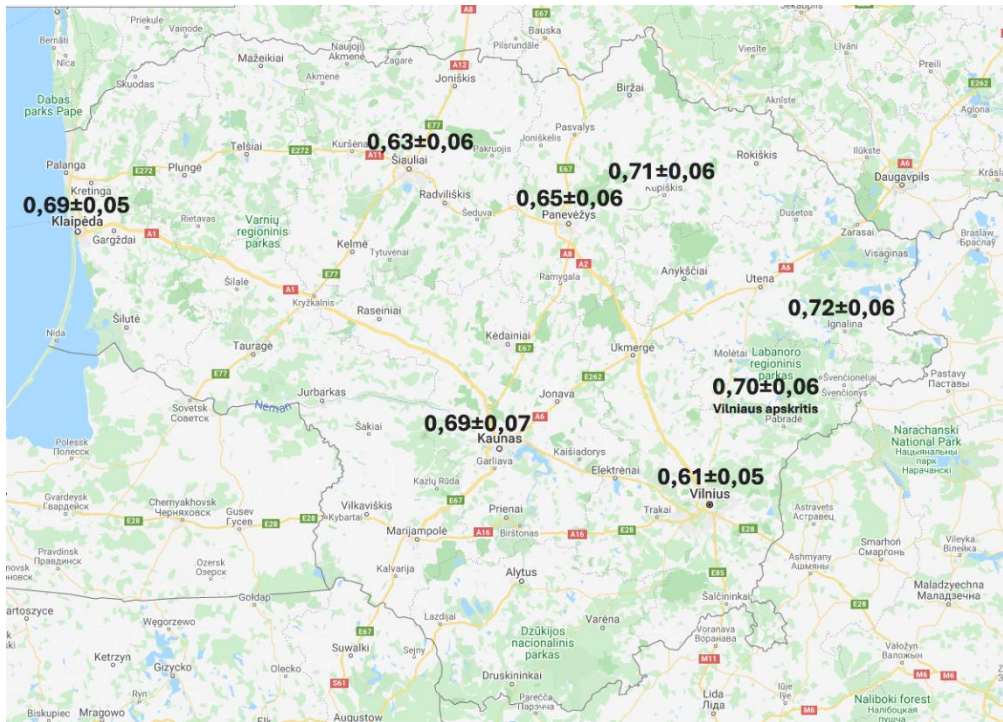
Vertinant Lietuvos gyventojų patiriamą išorinę apšvitą iš aplinkoje esančių gamtinės ir dirbtinės kilmės jonizuojančiosios spinduliuotės šaltinių, 2025 m. atlikti 726 aplinkos dozės ekvivalento matavimai 92 matavimo taškuose. Šie matavimo taškai išdėstyti Vilniuje, Kaune, Klaipėdoje, Šiauliuose, Panevėžyje, Vilniaus apskrityje apie 50 km atstumu nuo Baltarusijos AE, Ignalinos rajone apie 50 km atstumu nuo Ignalinos atominės elektrinės (toliau – Ignalinos AE) ir tyrimų rezultatams statistškai palyginti – Kupiškio rajone.

Aplinkos dozės ekvivalentas matuojamas termoluminescenciniais dozimetrais. Matavimai atliekami du kartus per metus. Sukauptos dozės nuskaitomos naudojant termoluminescencinių dozimetų nuskaitymo įrangą.

Didžiuosiuose Lietuvos miestuose vidutinis metinis aplinkos dozės ekvivalentas buvo $0,65 \pm 0,06 \text{ mSv}$, didžiausias metinis aplinkos dozės ekvivalentas ($0,87 \text{ mSv}$) nustatytas viename iš Ignalinos rajono stebėsenos taškų, o mažiausias ($0,52 \text{ mSv}$) – viename iš Vilniaus miesto stebėsenos taškų. Vilniaus apskrityje ir Ignalinos rajone nustatyti vidutiniai metiniai aplinkos dozės ekvivalentai ($0,70 \pm 0,06$ ir $0,72 \pm 0,06 \text{ mSv}$ atitinkamai) statistškai patikimai nesiskyrė nuo Kupiškio rajone nustatyto vidutinio metinio aplinkos dozės ekvivalento ($0,71 \pm 0,06 \text{ mSv}$). Ignalinos rajone vidutinis aplinkos dozės ekvivalentas buvo $0,72 \pm 0,06 \text{ mSv}$, tai parodo, kad Ignalinos AE vykdomi darbai papildomos apšvitos Lietuvos

gyventojams nelemia. Vidutinis metinis aplinkos dozės ekvivalentas didžiuosiuose Lietuvos miestuose, Vilniaus apskrityje, Ignalinos ir Kupiškio rajonuose pateiktas 11 pav.

Pagal gautus tyrimo rezultatus apskaičiuota, kad 2025 m. vidutinė dozės galia aplinkoje kito nuo 49 nSv/h iki 99 nSv/h. Žinant, kad žmogus lauke praleidžia apie penktadalį viso laiko, nustatyta, kad Lietuvos gyventojai iš aplinkos gavo apie 0,12 mSv vidutinę efektyvą dozę.



11 pav. Vidutinis metinis aplinkos dozės ekvivalentas (mSv) didžiuosiuose Lietuvos miestuose, Vilniaus apskrityje, Ignalinos ir Kupiškio rajonuose 2025 m.

Dirvožemio tyrimai ir aplinkos dozės galios matavimai Baltarusijos AE galimos įtakos zonoje

Tyrimo vietos parinktos Lietuvos Respublikos teritorijoje, patenkančioje į Baltarusijos AE galimos įtakos zoną. Pasirinkta 10 taškų, išsidėsčiusių pasienyje su Baltarusijos Respublika. Tyrimo vietos buvo identifikuojamos naudojantis koordinacių nustatymo prietaisu GPS. Tyrimams parinkta kuo lygesnė, toliau nuo medžių ir krūmų esanti vieta. Tyrimams parinktos vietos pavaizduotos 12 pav.

Kiekvienoje tiriamoje vietoje (pasirinktuose 10 taškų) buvo atlikti aplinkos dozės galios matavimai ir gama spektrometriniams tyrimams atrinkti dirvožemio ėminiai. Kiekvienoje vietoje buvo paimta po vieną ėminį. Ėminiai džiovinti 105 C temperatūroje ir paruošti gama spektrometriniams tyrimams naudojant 500 ml marineli geometrijos matavimo indą.

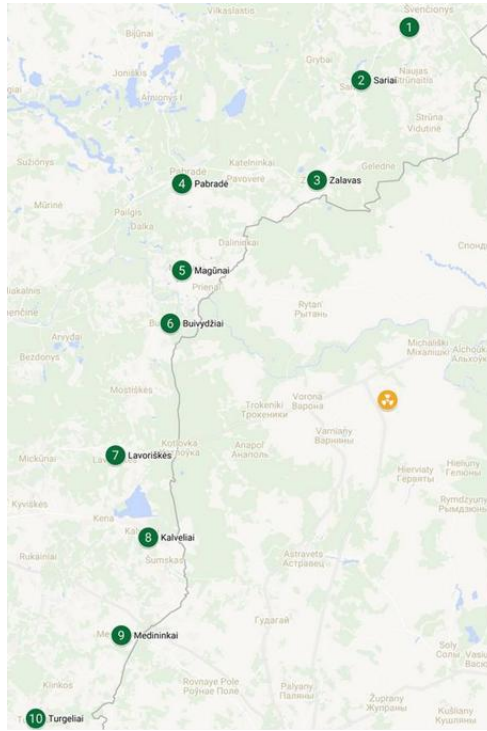
Ištirta 10 dirvožemio ėminių ir atlikta 750 aplinkos gama dozės galios matavimų.

Aplinkos dozės galios matavimai važiuojant nustatytu maršrutu (13 pav.) atlikti naudojant jonizuojančiąją spinduliuotę aptinkančią mobilią sistemą „MONA“. Šie matavimai buvo atliekami kas 2 s.

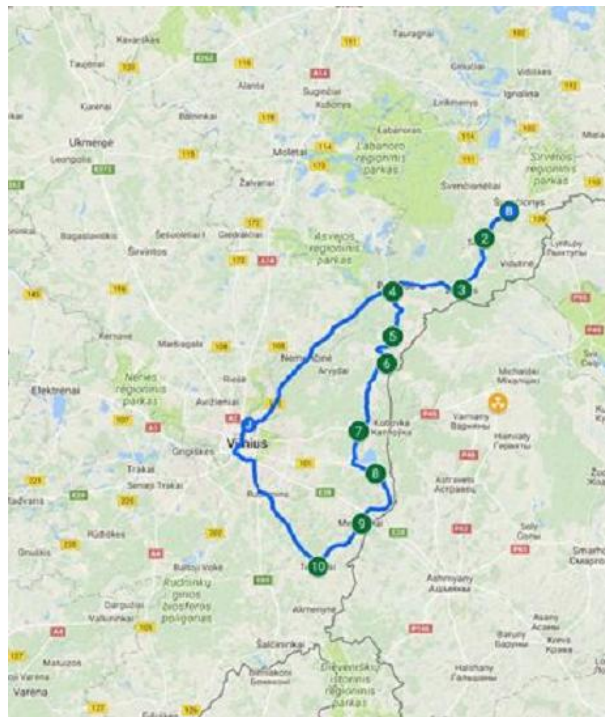
Atlikus dirvožemio ėminių radiologinius tyrimus Lietuvos Respublikos teritorijoje, patenkančioje į Baltarusijos AE galimos įtakos zoną, nustatyta, kad ¹³⁷Cs aktyvumo koncentracija buvo intervale nuo 1,5 iki 15,9 Bq/kg. Nustatytos ¹³⁷Cs aktyvumo koncentracijos

vertės koreliavo su ankstesniais metais atliktais tokių matavimų rezultatais ir atitiko Lietuvoje įprastai nustatomą ^{137}Cs aktyvumo koncentraciją.

Aplinkos dozės galia kito nuo 14 iki 60 nSv/h. Šios vertės koreliuoja su ankstesniais metais atliktų matavimų rezultatais ir atitinka Lietuvos vidurkį. Padidėjusių aplinkos gama dozės galios verčių nenustatyta.



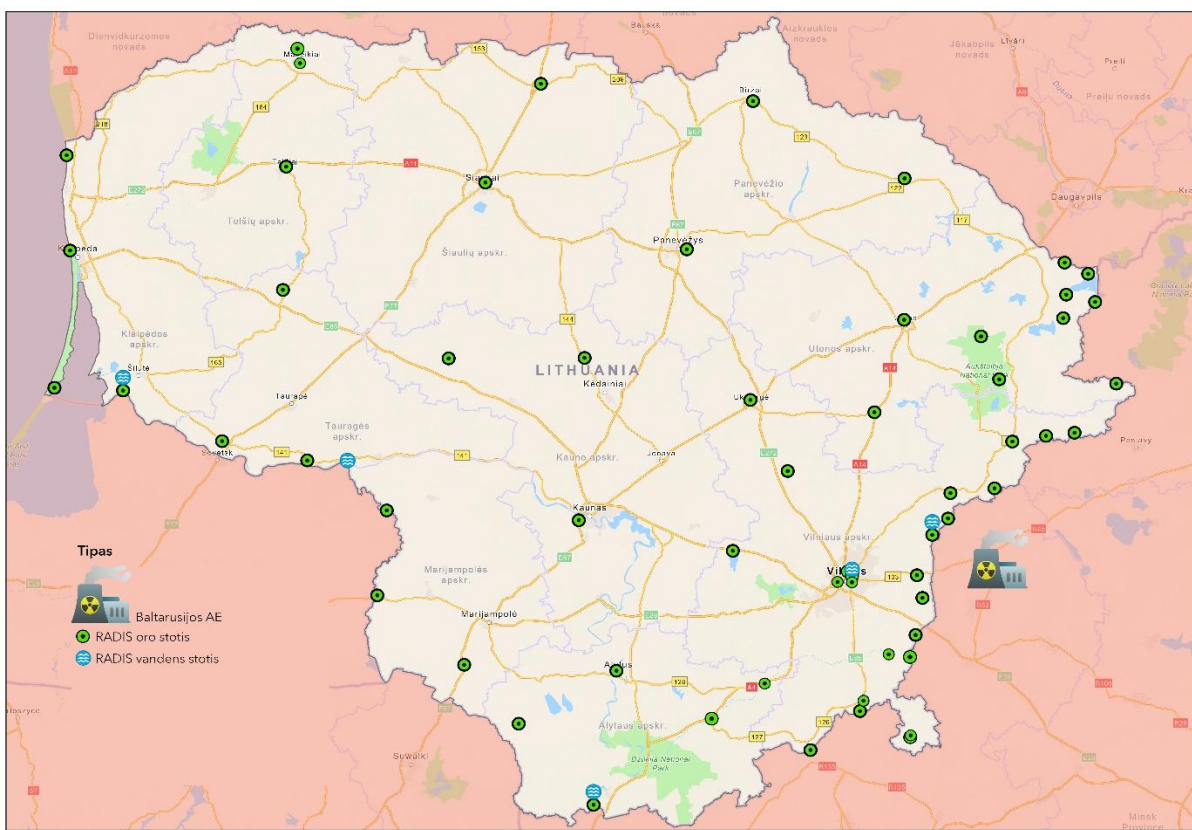
12 pav. Dirvožemio ėminių paėmimo taškai Baltarusijos AE galimos įtakos zonoje Lietuvos Respublikos teritorijoje



13 pav. Aplinkos dozės galios matavimų, naudojant jonizuojančiąją spinduliuotę aptinkančią mobilią sistemą, trajektorija

Automatiniai aplinkos dozės galios ekvivalento matavimai

Vienas radiologinio aplinkos monitoringo elementų yra nepertraukiamas automatinis aplinkos dozės galios ekvivalento matavimas, kurį atlieka Ankstyvojo radiacinio pavojaus perspėjimo tinklas RADIS (toliau – RADIS). RADIS tinklą sudaro aplinkos dozės galios ekvivalento matavimo ore (53 vnt.) ir Neries bei Nemuno vandenyje (4 vnt.) stotys, įrengtos Akademijoje, Alytuje, Andriukėnuose, Bačkininkuose, Bajoruose, Biržuose, Buivydžiuose, Dembavoje, Dieveniškėse, Dvarviečiuose, Elektrėnuose, Galalaukiuose, Gelednėje, Gruzdiškėje, Joniškyje, Kackonyse, Kalvarijoje, Kalveliuose, Klaipėdoje, Kybartuose, Lazdijuose, Mačionyse, Molėtuose, Nidoje, Noreikiškėse, Pagėgiuose, Šventojoje, Palūšėje, Pamiškiuose, Pavoverėje, Raipolėje, Reivyčiuose, Ridelkanyje, Rimšėje, Rokiškyje, Rukšniuose, Rusnėje, Rūgšteliškyje, Senojojoje Varėnoje, Šiauliuose, Širvintose, Švenčionyse, Švendubrėje, Tabariškėse, Tausiūnuose, Telšiuose, Tribonyse, Turmante, Ukmergėje, Utenoje, Vilniuje ir Visagine (14 pav.).



14 pav. RADIS stočių tinklas

RADIS stotis priklausomai nuo modelio susideda iš dviejų scintiliacinių spektrometrų ($\text{NaI} + \text{CeBr}_3$) arba scintiliacinio spektrometro ir gama dozės galios matuoklio ($\text{NaI} + \text{Geigerio}$ ir Miulerio skaitiklis). Tokia konstrukcija leidžia realiu laiku ne tik matuoti aplinkoje gama spinduliuotės dozės galios lygį, bet ir nustatyti, koks radionuklidas ją skleidžia, ar jis yra dirbtinės ar gamtinės kilmės ir pan. Aplinkos dozės galios ekvivalentą (arba radiacinį foną) RADIS stotys matuoja nuolat (24/7). Matavimai atliekami kas sekundę, o duomenys apie išmatuotą gama jonizuojančiosios spinduliuotės lygį iš stočių kas 10 minučių siunčiami į tinklo valdymo centrą ir yra atvaizduojami bendrinamuose interaktyviuose žemėlapiuose (RADIS stočių duomenys yra pateikiami visuomenei – Europos Komisijos prižiūrimos Europos

radiologinių duomenų mainų platformos (EURDEP), RSC ir Lietuvos hidrometeorologijos tarnybos (LHMT) interneto svetainėse, o vilniečiai RADIS teikiamą informaciją apie radiacinį foną sosinėje papildomai gali stebėti Vilniaus miesto savivaldybės mobiliojoje programėje KOVAS.

Duomenys apie aplinkos dozės galios ekvivalentą pateikiami nSv/val. Apie tinklo nustatytą radiacinės saugos požįrių reikšmingą radiacinio fono pasikeitimą atsakingiems darbuotojams pranešama automatinio būdu išsiunčiamomis SMS žinutėmis ir el. laiškais.

Radiacinį foną sudaro gamtinių ir dirbtinės kilmės radionuklidų aplinkoje skleidžiama jonizuojančioji spinduliuotė. Lietuvoje jis svyruoja 20–150 nSv/val. verčių ribose. Gamtinę jonizuojančiąją spinduliuotę skleidžia įvairūs šaltiniai – kosminė spinduliuotė, gamtinės kilmės radionuklidai (esantys grunte, maiste, geriamajame vandenyje, statybinėse medžiagose), radioaktyviosios radono dujos, patenkančios į aplinką iš žemės gelmių. Prie gamtinio radiacinio fono, supančio mus visur ir kintančio priklausomai nuo geografinės vietovės, žmogus yra prisitaikęs. Pradėjus lyti ar snigti gali būti momentinis jonizuojančiosios spinduliuotės padidėjimas pažemio ore. Radiaciniam fonui įtakos turi ir dirbtinės kilmės radionuklidai, pasklidę aplinkoje po branduolinės energetikos objektų avarijų, branduolinių ginklų bandymų ir pan., tačiau šių radionuklidų indėlis į radiacinį foną Lietuvoje yra labai nedidelis.

Mažiausios ir didžiausios kiekvieno 2025 m. mėnesio radiacinio fono reikšmės, išmatuotos skirtingose Lietuvos teritorijose, pateiktos 1 lentelėje.

1 lentelė. Mažiausias ir didžiausias išmatuotas radiacinis fonas Lietuvoje 2025 m., nSv/val.

2024 m.	Žemiausia užfiksuota aplinkos gama dozės galios vertė, nSv/val.			Aukščiausia užfiksuota aplinkos gama dozės galios vertė, nSv/val.		
	Vertė, nSv/val.	Vieta	Data	Vertė, nSv/val.	Vieta	Data
Sausis	23.5	Rusnė	15 d.	87.5	Telšiai	01 d.
Vasaris	23.4	Šventoji	7 d.	96.0	Lavoriškės	12 d.
Kovas	22.7	Šventoji	5 d.	89.6	Kaunas	14 d.
Balandis	24.8	Šventoji	5 d.	94.0	Kaunas	22 d.
Gegužė	24.4	Šventoji	5 d.	92.0	Lavoriškės	29 d.
Birželis	24.7	Šventoji	17 d.	82.8	Lazdijai	5 d.
Liepa	25.0	Šventoji	31 d.	145.9	Dvarviečiai	28 d.
Rugpjūtis	24.6	Šventoji	6 d.	96.3	Lavoriškės	20 d.
Rugsėjis	24.2	Šventoji	19 d.	146.7	Klaipėda	11 d.
Spalis	24.3	Šventoji	18 d.	120.1	Lavoriškės	25 d.
Lapkritis	24.4	Šventoji	22 d.	85.6	Molėtai	3 d.
Gruodis	23.0	Šventoji	30 d.	88.5	Biržai	20 d.

2025 m. aplinkos gama dozės galios vertės buvo fiksuotos nuo 22,7 iki 145,9 nSv/val. ir atitiko ankstesnių metų vertes.

Šventoji tapo žemiausios aplinkos gama dozės galios vertės fiksavimo tašku – 11 mėnesių ji fiksavo žemiausią reikšmę Lietuvoje, o minimali reikšmė buvo fiksuota 2025 m. kovo 5 d. (22,7 nSv/val.), kai aukščiausia vertė 2025 m. liepos 28 d. buvo užfiksuota Dvarviečių stotyje – 145,9 nSv/val.

Radiacinis fonas, matuojamas kaip aplinkos gama dozės galia, Lietuvoje svyruoja 20–130 nSv/val. verčių ribose, o reikšmė iki 300 nSv/val. laikoma nepadidėjusia. Radiacinį

foną sudaro gamtinių ir dirbtinės kilmės radionuklidų aplinkoje skleidžiama jonizuojančioji spinduliuotė.

Automatiniai oro aeroliuose esančių radionuklidų matavimai

Matavimų tikslas – aptikti ir įvertinti dėl branduolinės energetikos objekto veiklos į aplinką patekusių radionuklidų ore (atmosferos aeroliuose) kiekį. Matavimams atlikti naudojamos automatinės aerolių radionuklidų aptikimo ir matavimo įrangos sistemos, sumontuotos Vilniaus r. sav., Medininkų sen. Bajorų kaime, Švenčionių r. sav., Pabradės sen. Pavoverės ir Svirkių sen. Kackonių kaimuose; Vilkaviškio r. sav. Kybartų seniūnijoje ir Palangos m. sav. Šventosios gyvenvietėje.

Stotys nepertraukiamai siurbia aplinkos orą. Pavoverės k. įrengtoje sistemoje naudojamas ypač jautrus germanio (HPGe), Bajorų k. – natrio jodido (NaI), Šventojoje, Kackonyse ir Kybartuose cerio bromido (CeBr_3) – scintiliaciniai detektoriai (spektrometrai). Pavoverės k. ir Bajorų k. įrengtose sistemose naudojami du vienas po kito einantys statiniai filtrai: pirmasis skirtas aerolio dalelėms, antrasis plokštuminis filtras – molekuliniam jodui. Dirbtinės kilmės radioaktyviosios medžiagos nustatomos matuojant alfa, beta ir gama spinduliuotę. Esant įspėjamajam arba pavojaus signalui, įjungiamas trečiasis ėminių ėmimo ir matavimo įrenginys. Iš molekulinio jodo filtro išeinantis oro srautas nukreipiamas į papildomą matavimo vietą organiniam jodui aptikti. Radioaktyvusis jodas šiuo atžvilgiu atlieka labai svarbų vaidmenį, nes jo buvimas ore laikomas patikimu branduolinio incidento požymiu, o jo greitas plitimas – pagrindiniu indikatoriumi. Šių sistemų aptikimo riba ^{137}Cs , siurbiant 24 val., yra $0,006 \text{ Bq/m}^3$ atliekant matavimus su HPGe detektoriumi ir $0,056 \text{ Bq/m}^3$ – atliekant matavimus su NaI detektoriumi. Siurbiant 5 min, reikšmės atitinkamai 6,7 ir $4,1 \text{ Bq/m}^3$.

Kackonyse, Kybartuose ir Šventojoje įrengtose sistemose dirbtinės kilmės radioaktyviosios medžiagos nustatomos matuojant gama spinduliuotę, o jų aptikimo riba ^{137}Cs , siurbiant 24 val., yra $0,6 \text{ Bq/m}^3$.

2025 m. visos sistemos veikė įprastu režimu su trumpalaikėmis neveikimo pertraukomis dėl tikslinių techninių aptarnavimų. – Padidėjimų virš foninių reikšmių fiksuota nebuvo, dirbtinės kilmės radionuklidų neaptikta

Maisto produktų, jų žaliavų (maisto krepšelio) ir geriamojo vandens tyrimai

Dirbtinės kilmės radionuklidų patenka į aplinką iš objektų, savo veikloje naudojančių branduolines ar radioaktyvias medžiagas. Lietuvos Respublikoje didžiausias toks objektas yra Ignalinos AE, todėl maisto produktų, jų žaliavų ir geriamojo vandens stebėseną sukoncentruota rytinėje šalies dalyje (Utenos, Ignalinos, Zarasų rajonų savivaldybėse), siekiant įvertinti, ar radioaktyviosios medžiagos, patekusios į aplinką iš Ignalinos AE, neviršija ribinio į aplinką išmetamų radionuklidų aktyvumo ir ar gyventojai dėl šių į aplinką patekusių radionuklidų negauna didesnės nei teisės aktuose nustatytos apribotos dozės. Stebėseną vykdoma ir kituose šalies regionuose tam, kad galima būtų palyginti užterštumo lygius bei įvertinti, ar ir kitų šalies regionų gyventojus veikia antropogeninis radioaktyvusis užterštumas. Baltarusijos AE taip pat gali lemti papildomą apšvitą Lietuvos gyventojams. Siekiant įvertinti galimą Baltarusijos AE įtaką maisto produktų ir geriamojo vandens užterštumui radionuklidais ir gyventojų apšvitai, nuo 2018 m. iki 100 km atstumu nuo Baltarusijos AE Lietuvos teritorijoje Vilniaus apskrityje valstybinis radiologinis aplinkos monitoringas buvo išplėstas papildomais monitoringo taškais.

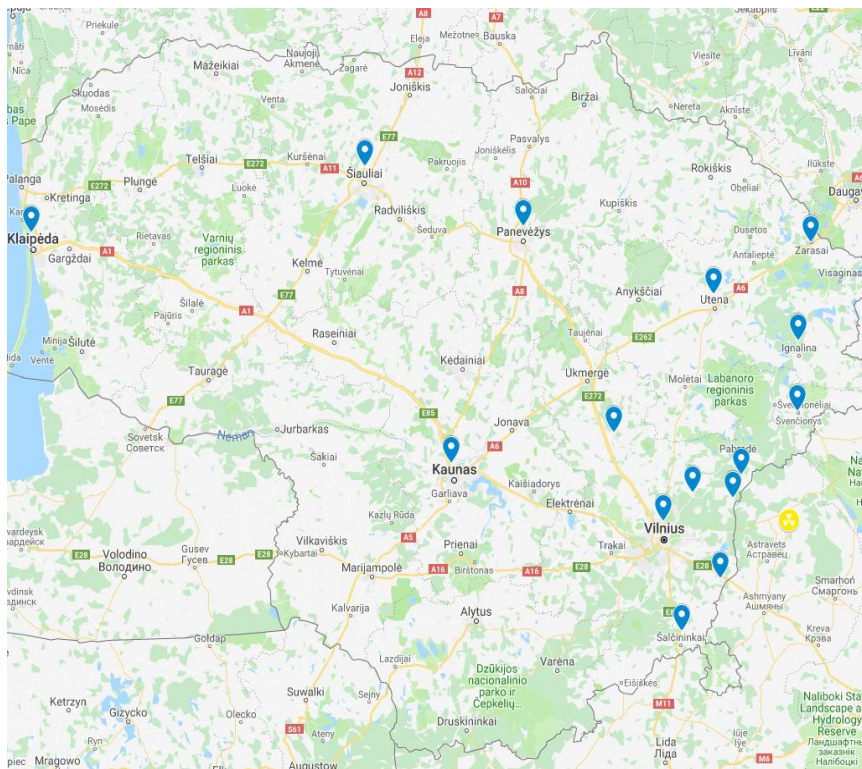
Maisto produktų, jų žaliavų (maisto krepšelio) ir geriamojo vandens ėminiai buvo imami pagal Lietuvos Respublikos sveikatos apsaugos ministro 2020 m. gruodžio 23 d.

įsakyme Nr. V-3003 „Dėl Valstybinio radiologinio aplinkos monitoringo vykdymo ir informacijos teikimo Europos Komisijai bei visuomenei tvarkos aprašo patvirtinimo“ nustatytus reikalavimus.

Maisto produktų, jų žaliavų (maisto krepšelio) ir geriamojo vandens ėminių ėmimo vietos

2025 m. ėminiai buvo imami ankstesniais metais nustatytose ėminių paėmimo vietose tankiajame tinkle: Kauno, Klaipėdos, Šiaulių, Panevėžio, Vilniaus, Utenos, Zarasų ir Ignalinos savivaldybių teritorijose bei Baltarusijos AE galimos įtakos regione Vilniaus apskrityje: Vilniaus r. sav. Nemenčinės, Medininkų ir Buivydžių sen., Švenčionių r. sav. Švenčionių ir Magūnų sen., Šalčininkų ir Širvintų r. sav. (15 pav). Maisto produktai buvo imami iš vietinių ūkių ir įmonių, o geriamasis vanduo iš vandenviečių. Tirti mėsos, žuvies, pieno, kopūstų, bulvių, grūdų, valgomųjų miško grybų (toliau – grybai) ėminiai. Tankiajame tinkle pieno ir geriamojo vandens ėminiai Ignalinos AE galimos įtakos regione ir didžiuosiuose miestuose imti kas ketvirtį, Baltarusijos AE galimos įtakos regione Vilniaus apskrityje – kas pusmetį, mėsos ir žuvies ėminiai – du kartus per metus (pavasariį ir rudenį), daržovių ir grūdų – vasaros pabaigoje, grybų – visą jų augimo sezoną. Retasis tinklas apėmė Vilniaus regioną, kuriame pieno, geriamojo vandens, paruošto maisto (paros raciono) ir iškritų ėminiai imti kiekvieną mėnesį. Paruošto maisto (paros raciono) ėminiai imti iš vienos paruošto maisto tiekimo įmonės. Atmosferos iškritos rinktos kas mėnesį Vilniaus mieste.

Ištirti 349 ėminiai, atlikti 674 tyrimai, ištirta 108 geriamojo vandens, 12 iškritų, 12 paros raciono, 77 maisto produktų ir 140 grybų ėminių.



15 pav. Maisto ir geriamojo vandens valstybinio radiologinio aplinkos monitoringo ėminių paėmimo vietos

Maisto produktų, jų žaliavų užterštumo radionuklidais tyrimų rezultatai

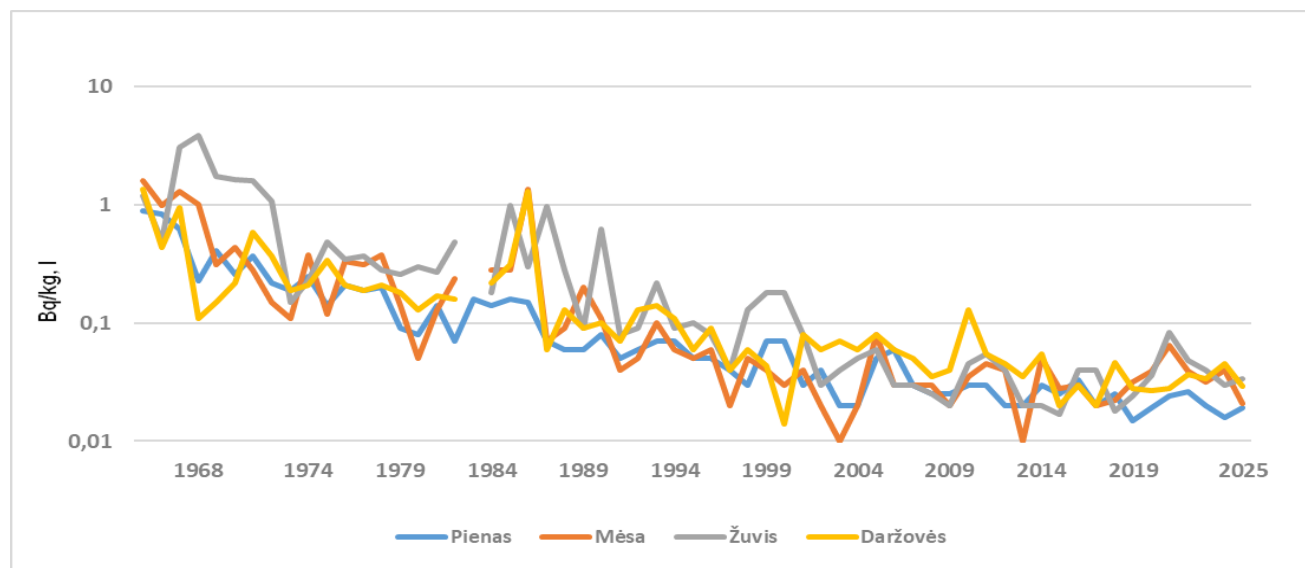
Maisto produktuose buvo nustatomos dirbtinės kilmės ilgaamžių radionuklidų ^{137}Cs ir ^{90}Sr (kurių daugiausia į aplinką pateko po Černobylio AE avarijos ir pasklido Lietuvos Respublikos teritorijoje) aktyvumo koncentracijos. Tyrimų rezultatai rodo, kad maisto užterštumas ilgaamžiais ^{137}Cs ir ^{90}Sr radionuklidais yra nepakitęs ir toks pat, koks stebimas pastarąjį dešimtmetį. Ėminiuose nustatoma nežymi minėtų radionuklidų aktyvumo koncentracija, kuri gyventojui lemia labai nedidelę apšvitą.

Radionuklidų vidutinės metinės aktyvumo koncentracijos vertės tirtuose neapdoroto vietinės kilmės maisto produktų ir jų žaliavų ėminiuose pateiktos 2 lentelėje. 2025 m. detalūs paros raciono, maisto produktų ir jų žaliavų ėminių, atrinktų stebėsenos taškuose, radiologinių tyrimų rezultatai pateikti 2 priedo 1, 18–22 lentelėse.

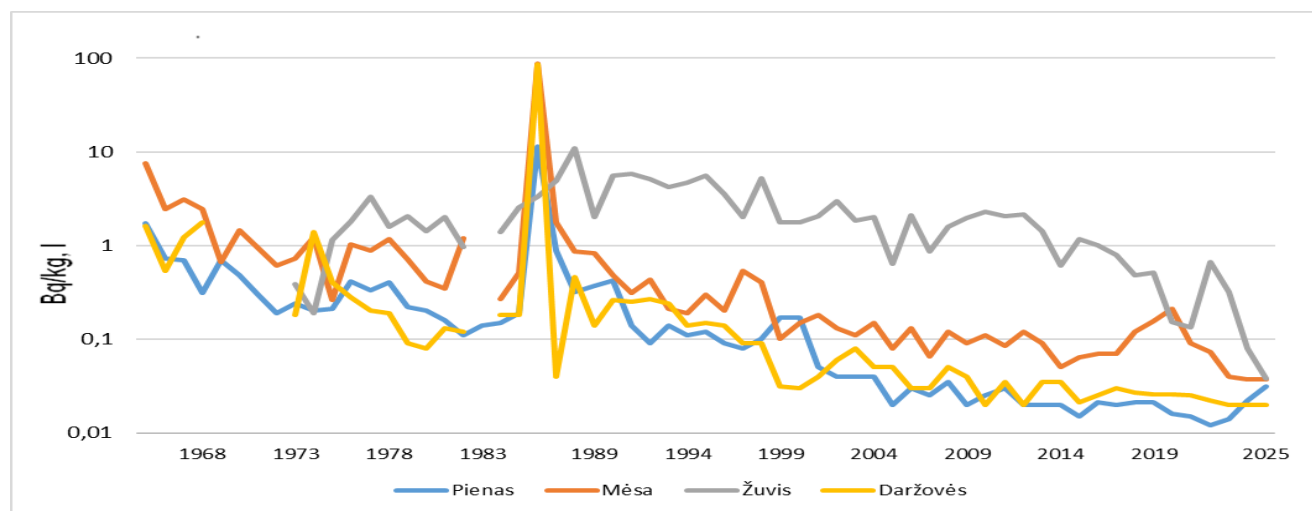
2 lentelė. 2025 m. radionuklidų vidutinės metinės aktyvumo koncentracijos vertės tirtuose neapdoroto vietinės kilmės maisto produktų ir jų žaliavų ėminiuose, paimtuose Ignalinos AE regione, Baltarusijos AE galimos įtakos regione ir kitose Lietuvos teritorijose

Ėminiai	Radionuklidas	Aktyvumo koncentracija, Bq/kg arba Bq/l		
		Lietuvos Respublikos vidurkis	Ignalinos AE įtakos regionas	Baltarusijos AE įtakos regionas
Pienas	^{90}Sr	$0,019 \pm 0,012$	$0,012 \pm 0,007$	$0,023 \pm 0,011$
	^{137}Cs	$0,031 \pm 0,072$	$0,011 \pm 0,005$	$0,052 \pm 0,101$
Mėsa	^{90}Sr	$0,02 \pm 0,03$	$0,012 \pm 0,002$	$0,011 \pm 0,002$
	^{137}Cs	$0,04 \pm 0,02$	$0,04 \pm 0,01$	$0,019 \pm 0,001$
Kopūstai	^{90}Sr	$0,035 \pm 0,011$	$0,05 \pm 0,02$	$0,025 \pm 0,007$
	^{137}Cs	$0,022 \pm 0,005$	$<0,03$	$0,021 \pm 0,004$
Bulvės	^{90}Sr	$0,023 \pm 0,021$	$<0,01$	$0,04 \pm 0,03$
	^{137}Cs	$0,019 \pm 0,006$	$<0,025$	$0,013 \pm 0,001$
Žuvis	^{90}Sr	$0,03 \pm 0,03$	$0,04 \pm 0,03$	$0,07 \pm 0,04$
	^{137}Cs	$0,04 \pm 0,02$	$0,03 \pm 0,03$	$0,03 \pm 0,01$
Grūdai	^{90}Sr	$0,068 \pm 0,026$	$0,09 \pm 0,05$	$0,08 \pm 0,03$
	^{137}Cs	$0,018 \pm 0,003$	$<0,022$	$0,019 \pm 0,001$

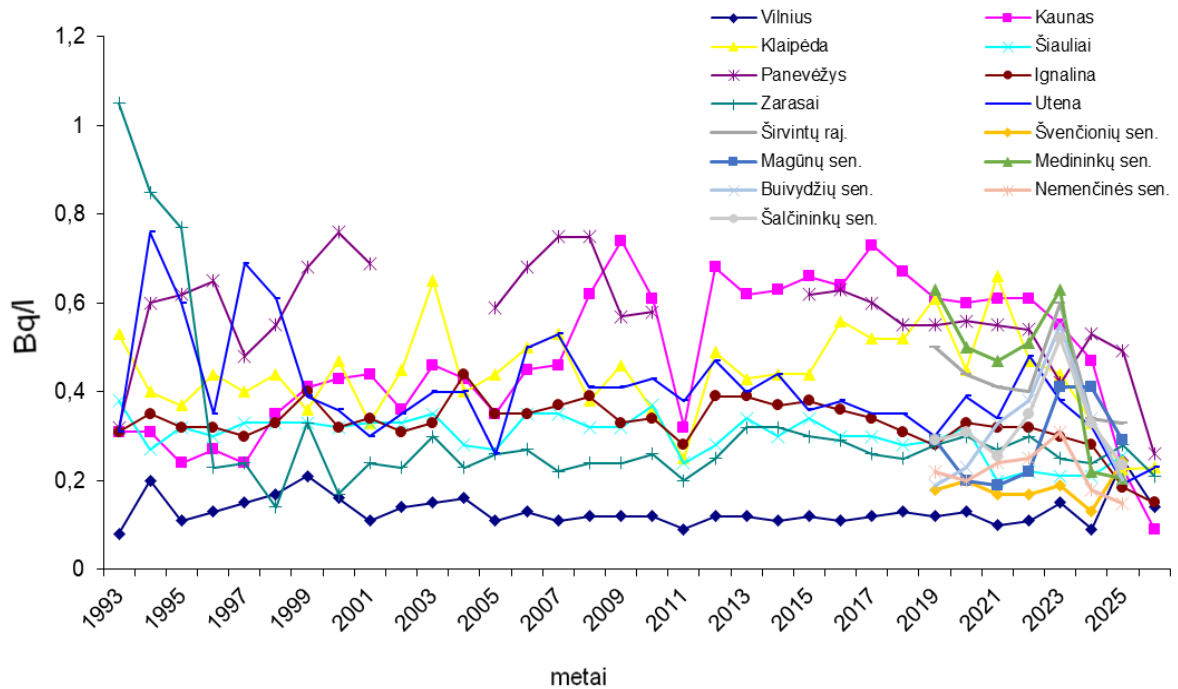
16–17 pav. pateiktos nuo 1965 m. nustatytos vidutinės metinės ^{90}Sr ir ^{137}Cs aktyvumo koncentracijos vertės įvairiuose maisto produktų ėminiuose. Maisto produktų (mėšos, žuvis, pieno, grūdų, daržovių) užterštumas ^{90}Sr ir ^{137}Cs buvo nežymus. Tirtų radionuklidų aktyvumo koncentracijos ėminiuose, paimtuose Baltarusijos AE galimoje įtakos regione ir Ignalinos AE galimoje įtakos regione, nesiskyrė nuo aktyvumo koncentracijų, nustatytų ėminiuose iš kitų Lietuvos vietų. Pastaraisiais metais dirbtinių radionuklidų aktyvumo koncentracijos daugelyje ėminių yra mažesnės nei 0,1 Bq/kg.



16 pav. Vidutinės metinės ^{90}Sr aktyvumo koncentracijos vertės maisto produktų ėminiuose, Bq/kg, 1965–2025 m.



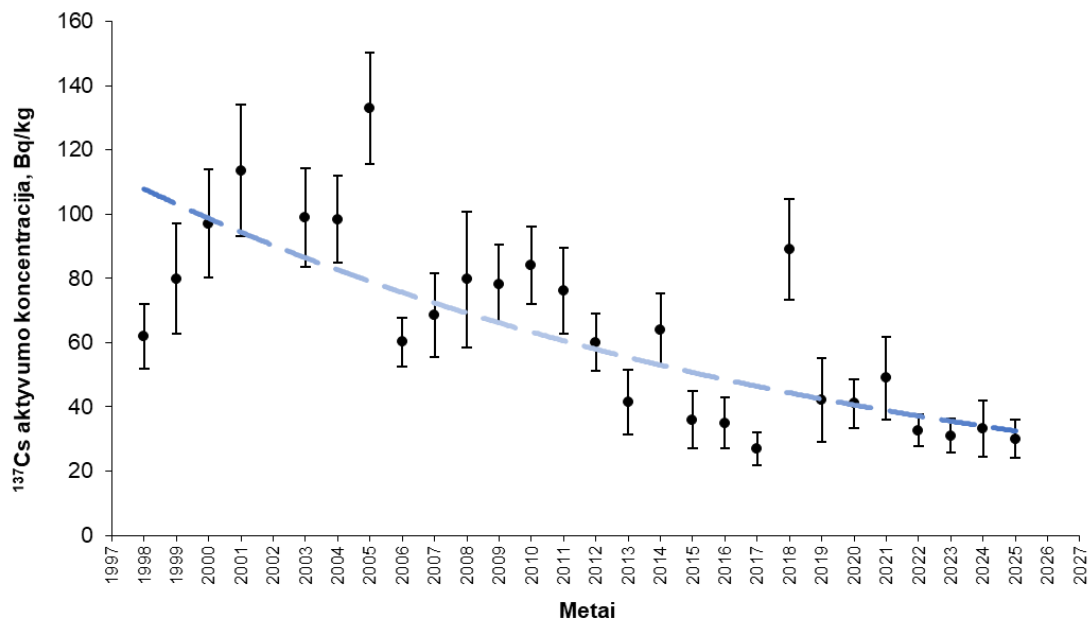
17 pav. Vidutinės metinės ^{137}Cs aktyvumo koncentracijos vertės maisto produktų ėminiuose, Bq/kg, 1965–2025 m.



18 pav. Vidutinės metinės visuminio beta (kartu su ^{40}K) aktyvumo koncentracijos vertės geriamajame vandenyje, Bq/l, 1992–2025 m.

Grybų užterštumo ^{137}Cs radionuklidu tyrimų rezultatai

Iš visų maisto produktų grybuose nustatoma didžiausia ^{137}Cs aktyvumo koncentracija. Grybų užterštumui ^{137}Cs radionuklidu vertinti buvo atrinkti valgomųjų rūšių grybų ėminiai iš įvairių Lietuvos miškų. Ištyrus 140 grybų ėminių nustatyta, kad 2025 m. vidutinė ^{137}Cs aktyvumo koncentracija valgomųjų grybų rūšyse buvo 30 Bq/kg. Vidutinis grybų užterštumas ^{137}Cs radionuklidu 1998–2025 m. pateiktas 19 pav.



19 pav. Vidutinės ^{137}Cs aktyvumo koncentracijos vertės ištirtų įvairių rūšių grybų ėminiuose, Bq/kg, 1998–2025 m.

Radionuklidų geriamajame vandenyje tyrimų rezultatai

2025 m. vidutinės metinės radionuklidų aktyvumo koncentracijos vertės tirtuose ėminiuose pateiktos 3 lentelėje. Gamtinių radionuklidų kiekio geriamajame vandenyje dinamika atskiruose regionuose 1992–2024 m. pavaizduota 18 pav. Gamtinių radionuklidų kiekis geriamajame vandenyje priklauso nuo geologinės sandaros ir nežymiai kinta atskirose šalies teritorijose. Dirbtinės kilmės radionuklido tričio ir gamtinės kilmės radionuklidų aktyvumo koncentracijos geriamojo vandens ėminiuose, paimtuose iš Ignalinos AE ir Baltarusijos AE galimos įtakos regionuose, nesiskyrė nuo aktyvumo koncentracijų kituose Lietuvos regionuose.

Detalūs geriamojo vandens tyrimų rezultatai pateikti 2 priedo 4–17 lentelėse.

3 lentelė. 2025 m. vidutinė metinė visuminio alfa ir visuminio beta (su ^{40}K) bei tričio aktyvumo koncentracija vandentiekio geriamojo vandens ėminiuose

Paėmimo vieta	Visuminio alfa aktyvumo koncentracija, Bq/l	Visuminio beta aktyvumo koncentracija, Bq/l	Tričio aktyvumo koncentracija, Bq/l
Vilniaus miestas	$0,039 \pm 0,032$	$0,14 \pm 0,10$	$2,1 \pm 0,9$
Kauno miestas	$0,030 \pm 0,001$	$0,09 \pm 0,02$	$3,1 \pm 1,1$
Klaipėdos miestas	$0,072 \pm 0,006$	$0,23 \pm 0,05$	$1,6 \pm 0,5$
Šiaulių miestas	$0,124 \pm 0,092$	$0,29 \pm 0,12$	$2,5 \pm 1,4$
Panevėžio miestas	$0,084 \pm 0,018$	$0,26 \pm 0,09$	$2,3 \pm 0,2$
Utenos rajonas	$0,037 \pm 0,025$	$0,23 \pm 0,07$	$2,6 \pm 0,9$
Ignalinos rajonas	$0,054 \pm 0,029$	$0,15 \pm 0,04$	$2,6 \pm 0,6$
Zarasų rajonas	$0,037 \pm 0,007$	$<0,21$	$2,4 \pm 0,3$
Lietuvos Respublikos vidurkis	$0,057 \pm 0,049$	$0,21 \pm 0,11$	$2,4 \pm 0,9$
Ignalinos AE regiono vidurkis	$0,045 \pm 0,026$	$0,21 \pm 0,07$	$2,5 \pm 0,6$
Baltarusijos AE galimos įtakos regiono vidurkis	$0,039 \pm 0,027$	$0,13 \pm 0,09$	$2,3 \pm 0,7$

Atmosferinių iškritų tyrimų rezultatai

Visuminio alfa, visuminio beta, ^{90}Sr ir ^{137}Cs tyrimų atmosferinėse iškritose rezultatai pateikti 2 priedo 3 lentelėje. Dirbtinių radionuklidų aktyvumo koncentracija atmosferinėse iškritose yra nedidelė (mažesnė arba artima aptikimo ribai).

Išvados

1. Atlikti ėminių tyrimai ir matavimai, numatyti Lietuvos Respublikos sveikatos apsaugos ministro 2024 m. spalio 25 d. įsakymu Nr. V-1032 „Dėl Radiacinės saugos centro vykdomų Valstybinės aplinkos monitoringo 2024–2029 metų programos uždavinių įgyvendinimo 2025 metais plano patvirtinimo“ patvirtintame plane, ne mažesne nei 95 proc. apimtimi;
2. gautų radiologinio aplinkos monitoringo tyrimų ir matavimų rezultatų analizė rodo, kad aplinkos radiacinė būklė nepakito, didesnių nei įprastai radioaktyviųjų medžiagų kiekių aplinkoje nenustatyta;
3. maisto produktų ir geriamojo vandens užterštumas radionuklidais nesiskiria nuo ankstesnių metų tyrimų rezultatų: iš ilgamečių tyrimų rezultatų matyti, kad radionuklidų aktyvumo

koncentracija per visą tyrimų laikotarpį arba išliko tokia pati (išskyrus laikotarpį po Černobylio AE avarijos), arba stebima, kad aktyvumo koncentracijos tolygiai mažėja;

4. maisto produktų ir geriamojo vandens ėminių, paimtų iš Ignalinos AE galimos įtakos regiono, užterštumas radionuklidais nesiskyrė nuo užterštumo kituose Lietuvos regionuose;

5. maisto produktų ir geriamojo vandens užterštumo radionuklidais lygis Baltarusijos AE galimos įtakos regione Vilniaus apskrityje nesiskyrė nuo užterštumo radionuklidais lygio kituose Lietuvos regionuose;

6. ^{137}Cs ir ^{90}Sr aktyvumo koncentracija Kuršių marių, Baltijos jūros, upių ir ežerų vandenyje bei dugno nuosėdose pastaruosius 10 metų nuolat mažėja;

7. Baltijos jūros augaluose – makrofituose (*Furcellaria lumbricalis*) ^{137}Cs radionuklido aktyvumo koncentracija 2025 m. artima ankstesnių metų vertėms;

8. visose tirtose žuvyse (menkėje, plešnėje ir strimelėje) ^{137}Cs aktyvumo koncentracijos vertės yra artimos 2 Bq/kg;

9. Utenos stotyje ^{137}Cs radionuklido aktyvumo koncentracija aerozoliuose buvo šešis kartus didesnė už minimalų detektuojamą aktyvumą. Kitų dirbtinių radionuklidų nenustatyta;

10. 2025 m. automatinės oro aerozolių matavimo stotys Bajorų k., Pavoverės k., Kackonių k., Kybartuose ir Šventojoje veikė įprastu režimu su trumpalaikėmis neveikimo pertraukomis dėl tikslinių techninių aptarnavimų. Kitų, nei gamtinės kilmės, radionuklidų didesniais kiekiais nei minimalus detektuojamas aktyvumas nenustatyta;

11. aplinkos dozės galios ekvivalento nepertraukiamo matavimo 57 stočių aplinkos foninių verčių padidėjimo nenustatyta.

1 PRIEDAS

1 lentelė. Radionuklidų aktyvumo koncentracija Baltijos jūros ir Kuršių marių paviršiniame vandenyje, Bq/m⁻³

Stotis	Ėminio ėmimo data	Druskingumas, promylės	Temperatūra, °C	¹³⁷ Cs aktyvumo koncentracija, Bq m ⁻³	⁹⁰ Sr aktyvumo koncentracija, Bq m ⁻³
Baltijos jūra					
LT6	2025-03-31	6,73	5,44	13,1 ± 1,1	4,58 ± 1,71
	2025-07-02	7,11	16,85	15,9 ± 1,5	3,58 ± 1,21
	2025-08-14	7,39	20,47	15,0 ± 1,5	6,0 ± 1,83
	2025-12-04	7,47	7,92	12,4 ± 1,2	5,18 ± 1,51
LT20	2025-03-27	7,28	4,47	14,4 ± 1,1	<2,71
	2025-06-16	7,35	15,57	14,7 ± 1,2	4,15 ± 1,33
	2025-08-14	7,37	20,65	13,1 ± 0,9	3,50 ± 1,78
	2025-12-04	7,5	8,79	14,8 ± 1,4	5,90 ± 1,64
LT64A2	2025-08-03	7,31	20,3	11,3 ± 1,9	5,33 ± 1,69
Kuršių marios					
LTK10	2025-03-13	0,28	4,70	<2,58	1,44 ± 0,51
	2025-05-13	0,27	11,39	<3,78	1,91 ± 0,59
	2025-08-27	0,21	17,13	<1,97	2,46 ± 0,70
	2025-11-06	0,26	8,86	<1,67	1,73 ± 0,58

2 lentelė. Radionuklidų aktyvumo koncentracija Baltijos jūros ir Kuršių marių dugno nuosėdose, Bq/kg (sausam svoriui)

Stotis	Stoties gylis, m	Ėminio paėmimo data	¹³⁷ Cs aktyvumo koncentracija, Bq/kg	⁴⁰ K aktyvumo koncentracija, Bq/kg	⁹⁰ Sr aktyvumo koncentracija, Bq/kg
Baltijos jūra					
LT6	14	2025-07-02	7,35 ± 0,29	273 ± 10	<0,77
	15	2025-08-14	8,12 ± 0,31	287 ± 10	1,18 ± 0,60
	15	2025-12-04	8,19 ± 0,31	291 ± 10	<0,77
LT20	45	2025-06-16	8,52 ± 0,33	577 ± 20	<0,52
	45	2025-08-14	10,1 ± 0,38	578 ± 20	1,85 ± 0,64
	46	2025-12-04	12,0 ± 0,46	448 ± 16	<0,77
LT64A2	41	2025-08-13	18,2 ± 0,7	495 ± 18	1,39 ± 0,69
Kuršių marios					
LTK10	3,9	2025-05-13	36,2 ± 1,4	401 ± 14	1,28 ± 0,52
	4,3	2025-08-27	42,3 ± 1,6	436 ± 15	2,77 ± 0,96
	4,1	2025-11-06	28,5 ± 1,1	380 ± 14	2,16 ± 0,63

3 lentelė. Radionuklidų aktyvumo koncentracija Baltijos jūros augaluose (*Furcellaria lumbricalis*), Bq/kg (sausam svoriui)

Stotis	Ėminio paėmimo data	¹³⁷ Cs aktyvumo koncentracija, Bq/kg	⁹⁰ Sr aktyvumo koncentracija, Bq/kg	⁴⁰ K aktyvumo koncentracija, Bq/kg
LT2K	2025-07-04	3,86 ± 0,16	<0,4	572 ± 20

4 lentelė. Radionuklidų aktyvumo koncentracija Baltijos jūros žuvyse, Bq/kg (šviežiam svoriui)

Ėminio paėmimo koordinatės	Žuvis	Ėminio paėmimo data	¹³⁷ Cs aktyvumo koncentracija, Bq/kg	⁴⁰ K aktyvumo koncentracija, Bq/kg
55.7033 š. pl. 20.6250 r. ilg.	strimėlė	2025-11-08	1,42 ± 0,09	90,5 ± 3,6
55.7033 š. pl. 20.6250 r. ilg.	plekšnė	2025-11-08	1,7 8± 0,13	87,0 ± 3,7
55.7033 š. pl. 20.6250 r. ilg.	menkė	2025-11-08	1,80 ± 0,09	92,5 ± 3,5

5 lentelė. Radionuklidų aktyvumo koncentracija ežerų vandenyje, Bq/m³

Vieta	Ėminio paėmimo data	¹³⁷ Cs aktyvumo koncentracija, Bq/m ³	⁹⁰ Sr aktyvumo koncentracija, Bq/m ³
Kauno marios	2025-04-15	<2,53	<0,68
	2025-06-02	<3,11	<0,71
	2025-07-15	<2,04	0,80 ± 0,36
	2025-08-12	<3,27	0,85 ± 0,40
	2025-09-16	<1,70	0,74 ± 0,42
	2025-10-16	<1,9	<1,1
Plateliai	2025-07-16	<6,16	2,12 ± 0,59
	2025-08-19	<2,58	2,75 ± 0,78

6 lentelė. Radionuklidų aktyvumo koncentracija ežerų dugno nuosėdose, Bq/kg (sausam svoriui)

Vieta	Ėminio paėmimo data	¹³⁷ Cs aktyvumo koncentracija, Bq/kg	⁴⁰ K aktyvumo koncentracija, Bq/kg	⁹⁰ Sr aktyvumo koncentracija, Bq/kg
Kauno marios	2025-04-15	24,8 ± 0,8	571 ± 18	3,16 ± 0,75
Plateliai	2025-07-16	5,47 ± 0,24	507 ± 15	<0,89
	2025-08-19	2,72 ± 0,12	438 ± 16	<0,79

7 lentelė. Radionuklidų aktyvumo koncentracija upių vandenyje, Bq/m³

Vieta	Ėminio paėmimo data	¹³⁷ Cs aktyvumo koncentracija, Bq/m ³	⁹⁰ Sr aktyvumo koncentracija, Bq/m ³
Neris ties Buivydziais	2025-01-06	<3,60	0,66 ± 0,36
	2025-02-03	<2,53	0,91 ± 0,41
	2025-03-03	<2,52	<0,73
	2025-04-07	<2,60	0,98 ± 0,40
	2025-05-05	<4,97	<0,71
	2025-06-02	<2,29	<0,72
	2025-07-07	<2,39	<0,51
	2025-08-04	<3,13	1,00 ± 0,43
	2025-09-01	<2,48	<0,86
	2025-10-06	<1,10	1,64 ± 0,55
	2025-11-03	<1,03	1,07 ± 0,50
	2025-12-08	<2,92	1,00 ± 0,47
Nemunas aukščiau Druskininkų	2025-02-03	<2,03	<0,59
	2025-05-05	<3,03	<0,74
	2025-07-07	<3,37	0,87 ± 0,38
	2025-10-06	<1,28	0,99 ± 0,57

Skirvytė ties Rusne	2025-02-10	<2,50	1,26 ± 0,46
	2025-04-14	<2,40	<0,67
	2025-09-14	<2,43	1,32 ± 0,68
	2025-10-13	<1,38	1,83 ± 0,57
Akmenos–Danės žiotyse	2025-02-10	<1,65	1,88 ± 0,60
	2025-04-16	<1,81	2,58 ± 0,70
	2025-07-14	<3,26	3,20 ± 0,77
	2025-10-13	<1,15	4,74 ± 1,03
Šventosios žiotyse	2025-02-10	<2,89	<1,00
	2025-04-16	<4,71	<0,72
	2025-07-14	<2,21	3,86 ± 1,16
	2025-10-13	<1,26	4,53 ± 0,96
Šešupė ties pasieniu su Kaliningradu	2025-02-26	<3,77	4,85 ± 1,02
	2025-04-16	<3,73	<0,88
	2025-07-16	<2,90	1,77 ± 0,58
	2025-10-13	<3,66	2,01 ± 0,64

8 lentelė. Radionuklidų aktyvumo koncentracija upių dugno nuosėdose, Bq/kg (sausam svoriui)

Vieta	Ėminio paėmimo data	¹³⁷ Cs aktyvumo koncentracija, Bq/kg	⁴⁰ K aktyvumo koncentracija, Bq/kg	⁹⁰ Sr aktyvumo koncentracija, Bq/kg
Neris ties Buivydžiais	2025-02-03	2,92 ± 0,11	360 ± 13	<0,55
	2025-04-07	2,36 ± 0,10	349 ± 12	<0,50
	2025-08-04	6,28 ± 0,45	441 ± 14	<0,88
	2025-10-06	0,578 ± 0,006	383 ± 11	0,78 ± 0,47
Nemunas aukščiau Druskininkų	2025-05-05	2,16 ± 0,22	367 ± 11	<0,54
	2025-10-06	1,61 ± 0,23	363 ± 11	1,25 ± 0,48
Skirvytė ties Rusne	2025-02-10	0,47 ± 0,01	364 ± 11	<0,65
	2025-04-14	0,50 ± 0,03	357 ± 13	<0,74
	2025-10-13	0,24 ± 0,04	339 ± 10	<0,77
Akmenos–Danės žiotyse	2025-02-11	0,30 ± 0,09	479 ± 15	<0,66
	2025-04-16	1,21 ± 0,07	443 ± 16	<0,64
	2025-10-13	0,255 ± 0,017	430 ± 15	<0,79
Šventosios žiotyse	2025-02-10	1,44 ± 0,26	365 ± 11	<0,57
	2025-04-16	1,60 ± 0,19	356 ± 11	<0,54
	2025-10-13	2,11 ± 0,14	324 ± 9	<0,80
Šešupė ties pasieniu su Kaliningradu	2025-04-16	1,02 ± 0,25	373 ± 12	<0,74
	2025-10-13	0,54ž5 ± 0,066ž	423 ± 12	1,27 ± 0,49

9 lentelė. Radionuklidų aktyvumo koncentracija oro aerozoliuose Utenos stotyje, Bq/m³

Ėminio ėmimo laikotarpis	⁷ Be aktyvumo koncentracija, Bq/m ³	¹³⁷ Cs aktyvumo koncentracija, Bq/m ³	¹³⁴ Cs aktyvumo koncentracija, Bq/m ³	¹³¹ I aktyvumo koncentracija, Bq/m ³	²² Na aktyvumo koncentracija, Bq/m ³
2024-12-31–2025-01-07	1,59 x 10 ⁻³ ±5,04 x 10 ⁻⁵	<8,09 x 10 ⁻⁷	<9,26 x 10 ⁻⁷	<8,67 x 10 ⁻⁷	<9,86 x 10 ⁻⁷
2025-01-07–2025-01-14	6,34 x 10 ⁻⁵ ±1,87 x 10 ⁻⁵	<1,30 x 10 ⁻⁶	<4,41 x 10 ⁻⁶	<1,20 x 10 ⁻⁶	<1,07 x 10 ⁻⁶
2025-01-14–2025-01-21	9,75 x 10 ⁻⁴ ±3,83 x 10 ⁻⁵	<1,69 x 10 ⁻⁶	<7,18 x 10 ⁻⁶	<2,26 x 10 ⁻⁶	<2,00 x 10 ⁻⁶

2025-01-21– 2025-01-28	$1,46 \times 10^{-3} \pm 4,73 \times 10^{-5}$	$<9,64 \times 10^{-7}$	$<8,57 \times 10^{-7}$	$<9,81 \times 10^{-7}$	$<1,11 \times 10^{-6}$
2025-01-28– 2025-02-04	$8,76 \times 10^{-4} \pm 4,23 \times 10^{-5}$	$<2,15 \times 10^{-6}$	$<2,00 \times 10^{-6}$	$<1,89 \times 10^{-6}$	$<2,44 \times 10^{-6}$
2025-02-04– 2025-02-11	$1,84 \times 10^{-3} \pm 5,81 \times 10^{-5}$	$<9,29 \times 10^{-7}$	$<8,76 \times 10^{-7}$	$<9,67 \times 10^{-7}$	$<1,08 \times 10^{-6}$
2025-02-11– 2025-02-18	$1,68 \times 10^{-3} \pm 4,82 \times 10^{-5}$	$1,95 \times 10^{-6} \pm 8,88 \times 10^{-7}$	$<4,05 \times 10^{-6}$	$<1,36 \times 10^{-6}$	$<1,08 \times 10^{-6}$
2025-02-18– 2025-02-25	$1,22 \times 10^{-3} \pm 3,65 \times 10^{-5}$	$1,38 \times 10^{-6} \pm 3,25 \times 10^{-7}$	$<2,73 \times 10^{-6}$	$<1,22 \times 10^{-6}$	$<1,12 \times 10^{-6}$
2025-02-25– 2025-03-04	$2,98 \times 10^{-3} \pm 8,25 \times 10^{-5}$	$2,07 \times 10^{-6} \pm 5,73 \times 10^{-7}$	$<9,32 \times 10^{-7}$	$<9,58 \times 10^{-6}$	$<1,50 \times 10^{-6}$
2025-03-04– 2025-03-12	$4,00 \times 10^{-3} \pm 1,10 \times 10^{-4}$	$2,11 \times 10^{-6} \pm 8,21 \times 10^{-7}$	$<2,02 \times 10^{-6}$	$<8,03 \times 10^{-6}$	$<1,95 \times 10^{-6}$
2025-03-12– 2025-03-18	$2,27 \times 10^{-3} \pm 6,43 \times 10^{-5}$	$<1,15 \times 10^{-6}$	$<4,39 \times 10^{-6}$	$<1,22 \times 10^{-6}$	$<1,53 \times 10^{-6}$
2025-03-18– 2025-03-25	$2,18 \times 10^{-3} \pm 6,05 \times 10^{-5}$	$<6,00 \times 10^{-7}$	$<2,16 \times 10^{-6}$	$<9,53 \times 10^{-7}$	$<1,33 \times 10^{-6}$
2025-03-25– 2025-04-01	$2,17 \times 10^{-3} \pm 7,40 \times 10^{-5}$	$<2,16 \times 10^{-6}$	$<4,71 \times 10^{-6}$	$<3,84 \times 10^{-6}$	$<2,35 \times 10^{-6}$
2025-04-01– 2025-04-08	$1,73 \times 10^{-3} \pm 6,37 \times 10^{-5}$	$<1,97 \times 10^{-6}$	$<6,19 \times 10^{-6}$	$<2,47 \times 10^{-6}$	$<2,35 \times 10^{-6}$
2025-04-08– 2025-04-15	$2,06 \times 10^{-3} \pm 7,01 \times 10^{-5}$	$<1,89 \times 10^{-6}$	$<5,05 \times 10^{-6}$	$<2,02 \times 10^{-6}$	$<2,18 \times 10^{-6}$
2025-04-15– 2025-04-22	$3,16 \times 10^{-3} \pm 8,78 \times 10^{-5}$	$1,99 \times 10^{-6} \pm 7,62 \times 10^{-7}$	$<3,94 \times 10^{-6}$	$<6,50 \times 10^{-6}$	$<1,07 \times 10^{-6}$
2025-04-22– 2025-04-29	$2,20 \times 10^{-3} \pm 6,37 \times 10^{-5}$	$<9,46 \times 10^{-7}$	$<2,22 \times 10^{-6}$	$<9,99 \times 10^{-7}$	$<1,16 \times 10^{-6}$
2025-04-29– 2025-05-06	$1,86 \times 10^{-3} \pm 6,48 \times 10^{-5}$	$<1,84 \times 10^{-6}$	$<5,20 \times 10^{-6}$	$<1,73 \times 10^{-6}$	$<2,12 \times 10^{-6}$
2025-05-06– 2025-05-13	$2,12 \times 10^{-3} \pm 6,85 \times 10^{-5}$	$<1,46 \times 10^{-6}$	$<4,24 \times 10^{-6}$	$<1,58 \times 10^{-6}$	$<2,26 \times 10^{-6}$
2025-05-13– 2025-05-20	$2,70 \times 10^{-3} \pm 8,42 \times 10^{-5}$	$<1,69 \times 10^{-6}$	$<3,50 \times 10^{-6}$	$<1,74 \times 10^{-6}$	$<2,28 \times 10^{-6}$
2025-05-20– 2025-05-27	$3,07 \times 10^{-3} \pm 8,74 \times 10^{-5}$	$<1,41 \times 10^{-6}$	$<4,34 \times 10^{-6}$	$<3,24 \times 10^{-6}$	$<1,17 \times 10^{-6}$
2025-05-27– 2025-06-03	$2,18 \times 10^{-3} \pm 7,02 \times 10^{-5}$	$<4,21 \times 10^{-6}$	$<1,79 \times 10^{-6}$	$<2,35 \times 10^{-6}$	$<2,55 \times 10^{-6}$
2025-06-03– 2025-06-10	$2,69 \times 10^{-3} \pm 7,55 \times 10^{-5}$	$<8,31 \times 10^{-7}$	$<2,14 \times 10^{-6}$	$<6,87 \times 10^{-6}$	$<1,40 \times 10^{-6}$
2025-06-10– 2025-06-17	$2,26 \times 10^{-3} \pm 6,41 \times 10^{-5}$	$<8,27 \times 10^{-7}$	$<4,56 \times 10^{-6}$	$<1,23 \times 10^{-6}$	$<1,43 \times 10^{-6}$
2025-06-17– 2025-06-23	$1,43 \times 10^{-3} \pm 4,21 \times 10^{-5}$	$<8,47 \times 10^{-7}$	$<1,23 \times 10^{-6}$	$<7,39 \times 10^{-6}$	$<1,05 \times 10^{-6}$
2025-06-23– 2025-07-01	$1,40 \times 10^{-3} \pm 4,04 \times 10^{-5}$	$<6,35 \times 10^{-7}$	$<4,34 \times 10^{-7}$	$<1,00 \times 10^{-6}$	$<5,22 \times 10^{-7}$
2025-07-01– 2025-07-08	$2,69 \times 10^{-3} \pm 7,51 \times 10^{-5}$	$<8,32 \times 10^{-7}$	$<3,37 \times 10^{-6}$	$<2,16 \times 10^{-6}$	$<9,00 \times 10^{-7}$
2025-07-08– 2025-07-15	$2,17 \times 10^{-3} \pm 7,14 \times 10^{-5}$	$<1,27 \times 10^{-6}$	$<1,72 \times 10^{-6}$	$<4,08 \times 10^{-6}$	$<1,87 \times 10^{-6}$
2025-07-15– 2025-07-22	$3,14 \times 10^{-3} \pm 8,83 \times 10^{-5}$	$<8,65 \times 10^{-7}$	$<2,36 \times 10^{-6}$	$<1,98 \times 10^{-6}$	$<1,27 \times 10^{-6}$
2025-07-22– 2025-07-29	$2,04 \times 10^{-3} \pm 5,91 \times 10^{-5}$	$<9,09 \times 10^{-7}$	$<4,54 \times 10^{-6}$	$<1,38 \times 10^{-6}$	$<1,04 \times 10^{-6}$

2025-07-29– 2025-08-05	$2,41 \times 10^{-3} \pm 6,82 \times 10^{-5}$	$<1,39 \times 10^{-6}$	$<3,39 \times 10^{-6}$	$<1,27 \times 10^{-6}$	$<1,07 \times 10^{-6}$
2025-08-05– 2025-08-12	$3,07 \times 10^{-3} \pm 8,45 \times 10^{-5}$	$<7,02 \times 10^{-7}$	$<1,36 \times 10^{-6}$	$<1,23 \times 10^{-6}$	$<1,30 \times 10^{-6}$
2025-08-12– 2025-08-19	$1,87 \times 10^{-3} \pm 5,51 \times 10^{-5}$	$<9,91 \times 10^{-7}$	$<3,33 \times 10^{-6}$	$<1,05 \times 10^{-6}$	$<1,14 \times 10^{-6}$
2025-08-19– 2025-08-26	$1,43 \times 10^{-3} \pm 4,31 \times 10^{-5}$	$<8,96 \times 10^{-7}$	$<1,73 \times 10^{-6}$	$<9,58 \times 10^{-7}$	$<1,15 \times 10^{-6}$
2025-08-26– 2025-09-02	$2,84 \times 10^{-3} \pm 9,05 \times 10^{-5}$	$<2,56 \times 10^{-6}$	$<1,12 \times 10^{-5}$	$<2,84 \times 10^{-6}$	$<4,56 \times 10^{-6}$
2025-09-02– 2025-09-09	$3,32 \times 10^{-3} \pm 9,28 \times 10^{-5}$	$<9,91 \times 10^{-7}$	$<3,14 \times 10^{-6}$	$<9,47 \times 10^{-7}$	$<1,01 \times 10^{-6}$
2025-09-09– 2025-09-16	$2,88 \times 10^{-3} \pm 8,04 \times 10^{-5}$	$1,57 \times 10^{-6} \pm 4,95 \times 10^{-7}$	$<2,40 \times 10^{-6}$	$<8,45 \times 10^{-7}$	$<9,92 \times 10^{-7}$
2025-09-16– 2025-09-23	$2,33 \times 10^{-3} \pm 1,87 \times 10^{-5}$	$<1,28 \times 10^{-6}$	$<8,34 \times 10^{-7}$	$<1,11 \times 10^{-6}$	$<9,13 \times 10^{-7}$
2025-09-23– 2025-09-30	$1,26 \times 10^{-3} \pm 3,87 \times 10^{-5}$	$<1,69 \times 10^{-6}$	$<3,23 \times 10^{-6}$	$<9,91 \times 10^{-7}$	$<1,21 \times 10^{-6}$
2025-09-30– 2025-10-07	$2,25 \times 10^{-3} \pm 6,48 \times 10^{-5}$	$<9,36 \times 10^{-7}$	$<4,34 \times 10^{-6}$	$<1,01 \times 10^{-6}$	$<1,15 \times 10^{-6}$
2025-10-07– 2025-10-14	$1,23 \times 10^{-3} \pm 3,68 \times 10^{-5}$	$<8,05 \times 10^{-7}$	$<4,92 \times 10^{-6}$	$<8,84 \times 10^{-7}$	$<1,04 \times 10^{-6}$
2025-10-14– 2025-10-21	$1,18 \times 10^{-3} \pm 3,55 \times 10^{-5}$	$<1,50 \times 10^{-6}$	$<2,32 \times 10^{-6}$	$<1,00 \times 10^{-6}$	$<1,66 \times 10^{-6}$
2025-10-21– 2025-10-28	$3,42 \times 10^{-3} \pm 9,95 \times 10^{-5}$	$<2,61 \times 10^{-6}$	$<5,42 \times 10^{-6}$	$<1,96 \times 10^{-6}$	$<3,49 \times 10^{-6}$
2025-10-28– 2025-11-04	$1,09 \times 10^{-3} \pm 3,34 \times 10^{-5}$	$<8,94 \times 10^{-7}$	$<2,31 \times 10^{-6}$	$<1,17 \times 10^{-6}$	$<9,45 \times 10^{-7}$
2025-11-04– 2025-11-11	$1,34 \times 10^{-3} \pm 4,86 \times 10^{-5}$	$<1,70 \times 10^{-6}$	$<4,59 \times 10^{-6}$	$<1,58 \times 10^{-6}$	$<1,92 \times 10^{-6}$
2025-11-11– 2025-11-18	$1,27 \times 10^{-3} \pm 4,76 \times 10^{-5}$	$<1,70 \times 10^{-6}$	$<3,95 \times 10^{-6}$	$<1,62 \times 10^{-6}$	$<2,18 \times 10^{-6}$
2025-11-18– 2025-11-25	$1,42 \times 10^{-3} \pm 5,43 \times 10^{-5}$	$<1,92 \times 10^{-6}$	$<1,72 \times 10^{-6}$	$<1,87 \times 10^{-6}$	$<2,42 \times 10^{-6}$
2025-11-25– 2025-12-02	$9,02 \times 10^{-4} \pm 4,34 \times 10^{-5}$	$<1,88 \times 10^{-6}$	$<3,60 \times 10^{-6}$	$<2,44 \times 10^{-6}$	$<1,92 \times 10^{-6}$
2025-12-02– 2025-12-09	$1,64 \times 10^{-3} \pm 3,57 \times 10^{-5}$	$<1,01 \times 10^{-6}$	$<2,27 \times 10^{-6}$	$<1,36 \times 10^{-6}$	$<1,84 \times 10^{-6}$
2025-12-09– 2025-12-16	$1,37 \times 10^{-3} \pm 4,15 \times 10^{-5}$	$<1,29 \times 10^{-6}$	$<1,84 \times 10^{-6}$	$<1,19 \times 10^{-6}$	$<2,05 \times 10^{-6}$
2025-12-16– 2025-12-23	$9,16 \times 10^{-4} \pm 2,67 \times 10^{-5}$	$<1,02 \times 10^{-6}$	$<2,54 \times 10^{-6}$	$<6,44 \times 10^{-6}$	$<6,92 \times 10^{-7}$
2025-12-23– 2025-12-30	$1,43 \times 10^{-3} \pm 5,12 \times 10^{-5}$	$<1,80 \times 10^{-6}$	$<5,68 \times 10^{-6}$	$<1,72 \times 10^{-6}$	$<2,13 \times 10^{-6}$

2 PRIEDAS

Radiologinių tyrimų rezultatai retajame monitoringo tinkle Vilniaus regione

1 lentelė. 2025 m. Vilniaus regiono maisto produktų radiologinių tyrimų rezultatai, Bqkg⁻¹, l⁻¹

Ėminio pavadinimas	Pristatymo data	⁹⁰ Sr aktyvumo koncentracija	¹³⁷ Cs aktyvumo koncentracija
Pienas	2025-01-06	0,012 ± 0,06	0,022 ± 0,008
UAB „Rivona“	2025-02-04	0,03 ± 0,01	0,016 ± 0,004

	2025-03-07	0,016 ± 0,005	0,055 ± 0,011
	2025-04-23	0,030 ± 0,010	<0,011
	2025-05-26	0,018 ± 0,006	0,035 ± 0,014
	2025-06-13	0,014 ± 0,005	0,028 ± 0,008
	2025-07-23	0,030 ± 0,010	0,027 ± 0,006
	2025-08-13	0,017 ± 0,006	0,029 ± 0,013
	2025-09-02	0,022 ± 0,01	0,020 ± 0,010
	2025-10-01	0,06 ± 0,03	0,023 ± 0,012
	2025-11-05	0,03 ± 0,01	0,009 ± 0,005
	2025-12-02	0,02 ± 0,01	0,010 ± 0,003
Paros racionas	2025-01-06	0,02 ± 0,01	<0,015
	2025-02-03	0,014 ± 0,01	0,011 ± 0,005
	2025-03-11	<0,01	0,015 ± 0,005
	2025-04-29	0,013 ± 0,007	<0,014
	2025-05-29	0,011 ± 0,006	<0,015
	2025-06-19	0,03 ± 0,002	<0,018
	2025-07-29	0,025 ± 0,009	<0,008
	2025-08-27	0,01 ± 0,01	<0,017
	2025-09-29	0,011 ± 0,008	0,012 ± 0,004
	2025-10-16	0,03 ± 0,02	<0,015
	2025-11-20	0,02 ± 0,02	<0,02
	2025-12-04	0,01 ± 0,01	<0,02

2 lentelė. 2025 m. Vilniaus regiono geriamojo vandens radiologinių tyrimų rezultatai, Bq l⁻¹

Ėminio paėmimo vieta	Pristatymo data	Visuminio alfa aktyvumo koncentracija	Visuminio beta (kartu su ⁴⁰ K) aktyvumo koncentracija	Tričio aktyvumo koncentracija
Kalvarijų g., Vilnius. Antavilių vandenvietė	2025-01-06	<0,018	<0,14	3,2 ± 0,7
	2025-02-05	<0,013	<0,11	<0,9
	2025-03-10	0,048 ± 0,006	<0,16	2,0 ± 0,6
	2025-04-09	0,023 ± 0,004	<0,11	<0,9
	2025-05-07	<0,014	<0,11	<1,2
	2025-06-11	<0,021	<0,18	<1,4
	2025-07-15	0,014 ± 0,003	<0,10	<1,3
	2025-08-12	0,043 ± 0,006	0,35 ± 0,05	<1,3
	2025-09-04	0,036 ± 0,008	<0,24	<1,3
	2025-10-14	<0,010	<0,09	<1,2
	2025-11-11	0,033 ± 0,005	<0,17	1,5 ± 0,8
2025-12-09	<0,013	<0,10	<1,3	
Jonažolių g., Vilnius. Bukčių vandenvietė	2025-01-06	<0,010	<0,08	<1,0
	2025-02-05	0,14 ± 0,04	0,018 ± 0,005	<1,1

	2025-03-10	<0,170	0,075 ± 0,007	1,9 ± 0,7
	2025-04-09	0,018 ± 0,003	0,14 ± 0,02	1,9 ± 0,7
	2025-05-07	0,029 ± 0,006	<0,15	<1,21
	2025-06-11	0,035 ± 0,007	<0,18	<1,4
	2025-07-15	0,019 ± 0,004	0,14 ± 0,04	<1,3
	2025-08-12	0,018 ± 0,003	0,16 ± 0,03	<1,4
	2025-09-04	0,060 ± 0,006	<0,17	<1,3
	2025-10-14	<0,010	<0,09	<1,3
	2025-11-11	0,059 ± 0,007	<0,21	2,2 ± 0,9
	2025-12-09	0,015 ± 0,002	0,11 ± 0,02	<1,3

3 lentelė. 2025 m. atmosferinių iškritų aktyvumo koncentracijos tyrimų rezultatai Vilniaus mieste

Mėnuo	Visuminio alfa aktyvumo koncentracija	Visuminio beta aktyvumo koncentracija	⁹⁰ Sr aktyvumo koncentracija	¹³⁷ Cs aktyvumo koncentracija
	Bq/m ² per parą		Bq/m ² per ketvirtį	
Sausis	0,029 ± 0,006	0,290 ± 0,045	<0,4	0,99 ± 0,19
Vasaris	0,011 ± 0,003	0,062 ± 0,009		
Kovas	0,010 ± 0,004	0,072 ± 0,012		
Balandis	0,013 ± 0,004	0,023 ± 0,005	<0,3	0,13 ± 0,08
Gegužė	0,034 ± 0,008	0,150 ± 0,024		
Birželis	0,057 ± 0,012	0,280 ± 0,047		
Liepa	0,051 ± 0,011	0,210 ± 0,034	<0,7	<0,23
Rugpjūtis	0,040 ± 0,008	0,130 ± 0,020		
Rugsėjis	0,021 ± 0,005	0,061 ± 0,011		
Spalis	0,029 ± 0,007	0,170 ± 0,031	<0,3	<0,19
Lapkritis	0,009 ± 0,004	0,110 ± 0,015		
Gruodis	0,009 ± 0,004	0,038 ± 0,006		

Geriamojo vandens radiologinių tyrimų rezultatai tankiajame monitoringo tinkle

4 lentelė. 2025 m. Kauno regiono geriamojo vandens radiologinių tyrimų rezultatai, Bq^l

Ėminio paėmimo vieta	Ėminio paėmimo data	Visuminio alfa aktyvumo koncentracija	Visuminio beta (kartu su ⁴⁰ K) aktyvumo koncentracija	Tričio aktyvumo koncentracija
Kauno m. Eigulių vandenvietė Baltų g., Kaunas	2025-01-14	<0,0075	0,092 ± 0,025	4,2 ± 0,8
	2025-04-29	<0,015	<0,12	<1,2
	2025-07-21	0,029 ± 0,005	<0,15	1,6 ± 0,8
	2025-10-22	<0,019	<0,17	3,0 ± 0,9
Kauno m. Vičiūnų vandenvietė Juozapavičiaus g., Kaunas	2025-01-14	<0,016	<0,17	3,5 ± 0,7
	2025-04-29	<0,014	<0,11	<1,2
	2025-07-21	0,030 ± 0,006	<0,18	<1,3
	2025-10-22	<0,030	<0,27	<1,4

5 lentelė. 2025 m. Klaipėdos regiono geriamojo vandens radiologinių tyrimų rezultatai, Bq^l

Ėminio paėmimo vieta	Ėminio paėmimo data	Visuminio alfa aktyvumo koncentracija	Visuminio beta (kartu su ⁴⁰ K) aktyvumo koncentracija	Tričio aktyvumo koncentracija
Klaipėdos m. I vandenvietė. Medžiotojų g., Klaipėda	2025-03-07	<0,027	<0,19	1,6 ± 0,7
	2025-06-19	<0,020	<0,18	2,3 ± 0,9
	2025-09-16	<0,018	<0,17	<1,4
	2025-11-20	0,072 ± 0,006	0,27 ± 0,05	<1,3
Klaipėdos m. III vandenvietė, Bijūnų g., Klaipėda	2025-03-13	<0,028	<0,20	1,1 ± 0,6
	2025-06-19	<0,019	<0,16	<1,4
	2025-09-16	<0,015	<0,14	<1,4
	2025-11-20	<0,017	<0,15	1,4±0,8

6 lentelė. 2025 m. Panevėžio r. sav. geriamojo vandens radiologinių tyrimų rezultatai, Bq^l

Ėminio paėmimo vieta	Ėminio paėmimo data	Visuminio alfa aktyvumo koncentracija	Visuminio beta (kartu su ⁴⁰ K) aktyvumo koncentracija	Tričio aktyvumo koncentracija
Ramygalos vandenvietė. Laisvės a., Ramygala	2025-03-18	0,090 ± 0,007	0,22 ± 0,04	<0,9
	2025-04-03	0,092 ± 0,005	0,16 ± 0,03	<0,9
	2025-07-10	0,072 ± 0,005	0,35 ± 0,03	2,2 ± 0,9
	2025-10-16	<0,019	0,21 ± 0,05	<1,3
Panevėžio m. vandenvietė. Respublikos g., Panevėžys	2025-03-18	0,097 ± 0,004	0,14 ± 0,03	2,5 ± 0,7
	2025-04-03	0,097 ± 0,004	0,32 ± 0,03	2,2 ± 0,7
	2025-07-10	0,089 ± 0,006	0,40 ± 0,04	<1,3
	2025-10-16	0,048 ± 0,007	0,30 ± 0,06	<1,3

7 lentelė. 2025 m. Šiaulių regiono geriamojo vandens radiologinių tyrimų rezultatai, Bq^l

Ėminio paėmimo vieta	Ėminio paėmimo data	Visuminio alfa aktyvumo koncentracija	Visuminio beta (kartu su ⁴⁰ K) aktyvumo koncentracija	Tričio aktyvumo koncentracija
Šiaulių m. Birutės vandenvietė Birutės g., Šiauliai	2025-02-21	0,061 ± 0,007	0,19 ± 0,04	1,0 ± 0,6
	2025-04-10	0,096 ± 0,004	0,18 ± 0,02	3,9 ± 0,9
	2025-07-10	0,044 ± 0,003	0,41 ± 0,02	<1,0
	2025-10-09	0,019 ± 0,002	0,25 ± 0,02	<1,3
Šiaulių m. Lepšių vandenvietė Dubijos g. 40, Šiauliai	2025-02-21	0,18 ± 0,01	<0,11	0,9 ± 0,6
	2025-04-10	0,18 ± 0,01	0,21 ± 0,03	2,4 ± 0,7
	2025-07-10	0,11 ± 0,01	0,31 ± 0,03	2,8 ± 0,9
	2025-10-09	0,30 ± 0,01	0,46 ± 0,05	4,0 ± 0,9

* Visuminio alfa aktyvumo koncentracijos vertė viršija Lietuvos higienos normoje HN 24:2023 „Geriamojo vandens saugos ir kokybės reikalavimai“, patvirtintoje Lietuvos Respublikos sveikatos apsaugos ministro 2003 m. liepos 23 d. įsakymu Nr. V-455 „Dėl Lietuvos higienos normos HN 24:2023 „Geriamojo vandens saugos ir kokybės reikalavimai“ patvirtinimo“ (toliau – higienos norma HN 24:2023) nustatytą radiologinio rodiklio vertę (0,1 Bq/l). Tačiau atliktais tyrimais įrodyta, jog radžio ²²⁶Ra radionuklido vertė Lepšių vandenvietės tiekiamame geriamajame vandenyje neviršijo higienos normos HN 24:2023 13 lentelėje pateiktos išvestosios aktyvumo koncentracijos šiam radionuklidui (0,5 Bq/l). Tokiu atveju laikoma, kad indikacinė dozė yra mažesnė už 0,1 mSv/metus ir radicinės saugos požiūriu nekelia pavojaus žmonių sveikatai.

8 lentelė. 2025 m. Utenos r. sav. geriamojo vandens radiologinių tyrimų rezultatai, Bq l⁻¹

Ėminio paėmimo vieta	Ėminio paėmimo data	Visuminio alfa aktyvumo koncentracija	Visuminio beta (kartu su ⁴⁰ K) aktyvumo koncentracija	Tričio aktyvumo koncentracija
Kaliekių vandenvietė. Vyturio g., Gedimino k.	2025-03-13	<0,017	<0,12	3,4±0,7
	2025-04-08	0,029 ± 0,006	0,17 ± 0,05	<1,0
	2025-09-09	0,075 ± 0,006	0,21 ± 0,04	<1,4
	2025-10-28	0,036 ± 0,004	<0,12	1,6 ± 0,9
Vaikutėnų vandenvietė. Sodų g., Vaikutėnų k.	2025-03-13	<0,023	<0,16	2,7 ± 0,6
	2025-04-08	<0,025	<0,20	<1,0
	2025-09-09	0,037 ± 0,006	0,30 ± 0,05	<1,4
	2025-10-28	0,007 ± 0,002	<0,07	<1,4

9 lentelė. 2025 m. Zarasų r. sav. geriamojo vandens radiologinių tyrimų rezultatai, Bq l⁻¹

Ėminio paėmimo vieta	Ėminio paėmimo data	Visuminio alfa aktyvumo koncentracija	Visuminio beta (kartu su ⁴⁰ K) aktyvumo koncentracija	Tričio aktyvumo koncentracija
Turmanto vandenvietė. Zarasų g., Turmantas	2025-03-13	<0,021	<0,15	2,8 ± 0,6
	2025-04-08	<0,025	<0,19	2,2 ± 0,7
	2025-09-09	<0,021	<0,17	<1,4
	2025-10-28	<0,006	<0,06	<1,4
Kimbartiškės vandenvietė. Sodų g., Kimbartiškė	2025-03-13	<0,028	<0,20	2,2 ± 0,7
	2025-04-08	0,036 ± 0,007	<0,16	<1,1
	2025-09-09	<0,026	<0,21	<1,4
	2025-10-28	<0,014	<0,14	<1,4

10 lentelė. 2025 m. Ignalinos regiono geriamojo vandens radiologinių tyrimų rezultatai, Bq/l¹

Ėminio paėmimo vieta	Ėminio paėmimo data	Visuminio alfa aktyvumo koncentracija	Visuminio beta (kartu su ⁴⁰ K) aktyvumo koncentracija	Tričio aktyvumo koncentracija
Visagino m. vandenvietė. Elektrinės g., Drūkšinių k., Visagino sav.	2025-03-13	0,022 ± 0,006	<0,14	2,2 ± 0,7
	2025-04-08	0,056 ± 0,006	0,15 ± 0,04	<1,0
	2025-09-09	0,093 ± 0,005	<0,13	<1,4
	2025-10-28	0,052 ± 0,006	<0,18	<1,3
Rimšės vandenvietė. Rimšės g., Rimšės k., Ignalinos r. sav.	2025-03-13	<0,018	<0,13	3,0 ± 0,6
	2025-04-08	0,022 ± 0,006	<0,16	<1,0
	2025-09-09	0,080 ± 0,006	<0,15	<1,4
	2025-10-28	<0,009	<0,09	<1,4

11 lentelė. 2025 m. Širvintų r. sav. geriamojo vandens radiologinių tyrimų rezultatai, Bq/l¹

Ėminio paėmimo vieta	Ėminio paėmimo data	Visuminio alfa aktyvumo koncentracija	Visuminio beta (kartu su ⁴⁰ K) aktyvumo koncentracija	Tričio aktyvumo koncentracija
Širvintų m. vandenvietė. Vilniaus g., Širvintos	2025-04-03	0,054 ± 0,005	<0,13	<0,9
	2025-12-02	0,035 ± 0,008	<0,22	<1,4
Motiejūnų vandenvietė. Motiejūnų k., Širvintų sen.	2025-04-03	<0,022	<0,18	<0,9
	2025-12-02	0,048 ± 0,006	<0,18	<1,4

12 lentelė. 2025 m. Švenčionių r. sav. geriamojo vandens radiologinių tyrimų rezultatai, Bq/l¹

Ėminio paėmimo vieta	Ėminio paėmimo data	Visuminio alfa aktyvumo koncentracija	Visuminio beta (kartu su ⁴⁰ K) aktyvumo koncentracija	Tričio aktyvumo koncentracija
Švenčionių m. vandenvietė. Švenčionėlių g., Švenčionys	2025-05-08	<0,017	<0,13	<1,3
	2025-11-12	0,027 ± 0,003	<0,10	<1,4
Cirkliščio vandenvietė. Pergalės g., Cirkliškis	2025-05-08	<0,012	0,11 ± 0,03	<1,2
	2025-11-12	0,041 ± 0,004	<0,13	<1,4

13 lentelė. 2025 m. Švenčionių r. sav. Magūnų sen. geriamojo vandens radiologinių tyrimų rezultatai, Bq/l¹

Ėminio paėmimo vieta	Ėminio paėmimo data	Visuminio alfa aktyvumo koncentracija	Visuminio beta (kartu su ⁴⁰ K) aktyvumo koncentracija	Tričio aktyvumo koncentracija
Magūnų vandenvietė. Balingrado g., Magūnai	2025-05-08	<0,010	<0,09	<1,3
	2025-11-12	<0,017	<0,15	<1,4
Prienu vandenvietė. Prienu k.	2025-05-08	<0,012	<0,11	<1,2
	2025-11-12	<0,014	<0,12	<1,4

14 lentelė. 2025 m. Vilniaus r. sav. Medininkų sen. geriamojo vandens radiologinių tyrimų rezultatai, Bq/l¹

Ėminio paėmimo vieta	Ėminio paėmimo data	Visuminio alfa aktyvumo koncentracija	Visuminio beta (kartu su ⁴⁰ K) aktyvumo koncentracija	Tričio aktyvumo koncentracija
Medininkų vandenvietė. Medaus g., Medininkai	2025-05-08	0,026 ± 0,005	<0,12	<1,1
	2025-11-12	0,013 ± 0,002	<0,067	<1,4
Padvarionių vandenvietė. Padvarionių k.	2025-05-08	<0,019	<0,15	3,4 ± 0,8
	2025-11-12	0,032 ± 0,004	<0,13	<1,4

15 lentelė. 2025 m. Vilniaus r. sav. Buivydyžių sen. geriamojo vandens radiologinių tyrimų rezultatai, Bq/l¹

Ėminio paėmimo vieta	Ėminio paėmimo data	Visuminio alfa aktyvumo koncentracija	Visuminio beta (kartu su ⁴⁰ K) aktyvumo koncentracija	Tričio aktyvumo koncentracija
Buivydyžių vandenvietė. Vilniaus g., Buivydyžiai I	2025-05-08	<0,014	<0,13	<1,3
	2025-11-12	<0,017	<0,14	<1,3
Punžonių vandenvietė. Punžonys	2025-05-08	0,011 ± 0,003	<0,09	3,1 ± 0,8
	2025-11-12	<0,014	<0,12	<1,3

16 lentelė. 2025 m. Vilniaus r. sav. Nemenčinės sen. geriamojo vandens radiologinių tyrimų rezultatai, Bq/l¹

Ėminio paėmimo vieta	Ėminio paėmimo data	Visuminio alfa aktyvumo koncentracija	Visuminio beta (kartu su ⁴⁰ K) aktyvumo koncentracija	Tričio aktyvumo koncentracija
Kabiškių vandenvietė. Nemenčinės g., Didžiosios Kabiškės	2025-04-08	<0,020	<0,16	<1,0
	2025-10-28	0,025 ± 0,006	<0,18	<1,4
Eitminiškių vandenvietė. Bažnyčios g., Eitminiškės	2025-04-08	0,031 ± 0,007	<0,16	<1,0
	2025-10-28	0,032 ± 0,006	<0,19	<1,4

17 lentelė. 2025 m. Šalčininkų r. sav. geriamojo vandens radiologinių tyrimų rezultatai, Bq/l¹

Ėminio paėmimo vieta	Ėminio paėmimo data	Visuminio alfa aktyvumo koncentracija	Visuminio beta (kartu su ⁴⁰ K) aktyvumo koncentracija	Tričio aktyvumo koncentracija
Šalčininkų vandenvietė. Vilniaus g., Šalčininkai	2025-05-08	0,084 ± 0,004	0,21 ± 0,03	<1,2
	2025-11-12	0,083 ± 0,020	0,097 ± 0,017	<1,4
Šalčininkėlių vandenvietė. Vilniaus g., Šalčininkėliai	2025-05-08	0,033 ± 0,005	<0,14	1,6 ± 0,7
	2025-11-12	<0,026	0,042 ± 0,013	<1,4

Maisto produktų radiologinių tyrimų rezultatai tankiajame monitoringo tinkle

18 lentelė. 2025 m. Pieno radiologinių tyrimų rezultatai, Bq l⁻¹

Regionas	Ėminio paėmimo vieta	Ėminio paėmimo data	⁹⁰ Sr aktyvumo koncentracija	¹³⁷ Cs aktyvumo koncentracija
Šiauliai	Maldenių k., Joniškio r.	2025-02-21	0,008 ± 0,005	<0,005
		2025-06-06	0,008 ± 0,004	<0,008
		2025-08-22	0,012 ± 0,007	<0,007
		2025-12-07	<0,01	<0,011
Kaunas	Margininkų k., Kauno r.	2025-01-06	0,04 ± 0,04	<0,007
		2025-06-16	0,015 ± 0,007	<0,011
		2025-08-21	0,007 ± 0,004	0,009 ± 0,004
		2025-10-07	0,011 ± 0,006	<0,013
Klaipėda	AB „Žemaitijos pienas“	2025-01-07	0,02 ± 0,01	0,016 ± 0,007
		2025-06-16	0,02 ± 0,01	<0,009
		2025-08-13	0,019 ± 0,006	0,014 ± 0,006
		2025-10-01	0,05 ± 0,03	0,012 ± 0,006
Panevėžys	AB "Pieno žvaigždės", filialas Panevėžio pienas	2025-01-09	0,02 ± 0,01	<0,014
		2025-06-13	0,009 ± 0,004	<0,009
		2025-08-19	0,007 ± 0,004	<0,006
		2025-09-30	0,008 ± 0,004	<0,023
Utena	UAB "Rokiškio pieno gamyba"	2025-01-06	<0,003	<0,005
		2025-06-13	0,014 ± 0,006	0,015 ± 0,006
		2025-08-13	0,011 ± 0,005	0,008 ± 0,004
		2025-09-30	<0,02	<0,015
Širvintos	Žibėnų k., Širvintų r.	2025-04-03	0,019 ± 0,080	0,081 ± 0,004
		2025-10-07	0,024 ± 0,014	<0,006
Švenčionys	Švenčionių r.	2025-06-13	0,018 ± 0,008	0,030 ± 0,007
		2025-11-12	0,013 ± 0,008	0,450 ± 0,009
Šalčininkai	Šalčininkų k., Šalčininkų r.	2025-05-08	0,012 ± 0,004	0,035 ± 0,013
		2025-11-12	0,02 ± 0,01	0,044 ± 0,008

19 lentelė. 2025 m. mėsos radiologinių tyrimų rezultatai, Bq kg⁻¹

Regionas	Ėminio paėmimo vieta	Ėminio tipas	Ėminio paėmimo data	⁹⁰ Sr aktyvumo koncentracija	¹³⁷ Cs aktyvumo koncentracija
Vilnius	AB „Vilniaus paukštynas“	Vištiena	2025-06-05	0,013 ± 0,007	0,02 ± 0,01
			2025-10-10	<0,01	<0,02
Klaipėda	Šilalės r.	Jautiena	2025-01-06	0,11 ± 0,07	0,07 ± 0,01
			2025-10-07	0,02 ± 0,02	0,07 ± 0,01
Šiauliai	TŪB "Baltupėnai", Šiauliai	Kiauliena	2025-04-10	<0,01	0,02 ± 0,01
		Vištiena	2025-12-11	<0,02	<0,02
Panevėžys	UAB „Agaras“ Biržų r.	Jautiena	2025-06-05	<0,01	0,08 ± 0,02

			2025-10-10	0,012 ± 0,009	0,02 ± 0,01
Utena	AB „Utenos mėsa“	Kiauliena	2025-04-08	0,01 ± 0,01	0,03 ± 0,01
		Jautiena	2025-10-28	0,013 ± 0,01	0,05 ± 0,02
Širvintos	Širvintų kalakutai, Motiejūnų k., Širvintų r.	Kalakutiena	2025-05-26	0,01 ± 0,01	<0,02
			2025-11-20	<0,01	<0,02

20 lentelė. 2025 m. žuvis radiologinių tyrimų rezultatai, Bq kg⁻¹

Regionas	Ėminio paėmimo vieta	Ėminio tipas	Ėminio paėmimo data	⁹⁰ Sr aktyvumo koncentracija	¹³⁷ Cs aktyvumo koncentracija
Vilnius	UAB „Akvapona“, Skaisterių k., Vilniaus r.	Šamo plėšiko filė	2025-04-03	<0,1	0,02 ± 0,01
			2025-10-07	<0,04	0,04 ± 0,02
Kaunas	UAB "Išlaužo žuvis" Išlaužas, Prienų r.	Plačiakakčio filė	2025-06-11	<0,05	0,06 ± 0,01
		Karpio filė	2025-11-05	0,01 ± 0,01	0,07 ± 0,02
Klaipėda	UAB „Kuršių marios“	Jūros lydekos filė	2025-01-12	<0,01	<0,02
		Jūrinio ešerio filė	2025-11-05	<0,01	0,07±0,01
Šiauliai	UAB „Žuvėja“ Radviliškio r.	Šamo plėšiko filė	2025-06-05	<0,03	0,024 ± 0,015
			2025-10-10	<0,02	0,026 ± 0,011
Ignalina	UAB „Birvėtos tvenkiniai“ Navikai, Ignalinos r.	Karpio filė	2025-01-14	0,02 ± 0,02	<0,011
			2025-10-22	0,04 ± 0,02	<0,01
Zarasai	UAB „Vasaknos“ Vasaknų k., Zarasų r.	Karpio filė	2025-06-05	<0,01	0,07 ± 0,03
			2025-10-10	<0,07	<0,016

21 lentelė. 2025 m. daržovių radiologinių tyrimų rezultatai, Bq kg⁻¹

Regionas	Ėminio paėmimo vieta	Ėminio pavadinimas	Ėminio paėmimo data	⁹⁰ Sr aktyvumo koncentracija	¹³⁷ Cs aktyvumo koncentracija
Vilnius	Vilniaus r.	Bulvės	2025-09-01	0,06 ± 0,03	<0,02
		Kopūstai	2025-09-01	0,02 ± 0,01	<0,02
Kaunas	Kauno r., Raudondvaris	Bulvės	2025-09-24	0,014 ± 0,009	<0,03
		Kopūstai	2025-09-25	0,04 ± 0,02	0,02 ± 0,01
Šiauliai	Joniškio r., Maldenių k.	Bulvės	2025-08-09	0,009 ± 0,006	<0,02
		Kopūstai	2025-08-09	0,04 ± 0,02	<0,02
Utena	Utenos r.	Bulvės	2025-09-22	<0,01	<0,03
		Kopūstai	2025-08-15	0,05 ± 0,02	<0,03
Širvintos	Širvintų r.	Bulvės	2025-09-06	0,02 ± 0,01	<0,02
		Kopūstai	2025-09-01	0,03 ± 0,02	<0,03

Ataskaitą parengė RSC specialistai: J. Žiliukas, R. Ladygienė, L. Pilkytė, A. Orentienė, A. Tankevičiūtė, R. Morkūnienė, R. Kimbaras, J. Dainytė-Veličkienė, L. Jocienė, I. Česnauskienė, O. A. Olechnovič, O. Chudikaitė, V. Milinkevičius, A. Šeputis, D. Sinkevičius, A. Ševčik, A. Urbonienė, G.

Pilipavičiūtė, A. Gudan, P. Bertašius, E. Karmanovienė, I. Masiulytė, R. Galeckienė, M. Bašinskas, A. Butienė, K. Mažonienė.